

مجلة



جامعة الملك خالد

للعلوم الإنسانية

دورية علمية نصف سنوية - محكمة

المجلد الثاني عشر - العدد الثاني (ديسمبر 2025)

بِسْمِ اللَّهِ الرَّحْمَنِ الرَّحِيمِ

عن المجلة:

مجلة جامعة الملك خالد للعلوم الإنسانية دورية علمية نصف سنوية، متخصصة في العلوم الإنسانية، محكمة في آلية قبول البحوث القابلة للنشر بها، وتحدف إلى نشر الإنتاج العلمي للباحثين في تخصصات العلوم الإنسانية، وتعنى بالبحوث الأصلية التي لم يسبق نشرها باللغتين العربية والإنجليزية التي تتسم بالمصداقية واتباع المنهجية العلمية السليمة.

أهداف المجلة:

- الإسهام في إبراز دور الحضارة الإسلامية في إثراء العلوم الإنسانية.
- نشر البحوث العلمية المحكمة في مجال العلوم الإنسانية بفروعها المختلفة.
- الإضافة إلى مركوم المعرفة في الدراسات الإنسانية.
- إبراز جهود الباحثين في الدراسات والبحوث العلمية ذات الصلة بموضوعات الإنسانيات.

هيئة التحرير:

رئيس التحرير

أ.د. عبدالرحمن حسن البارقي

مديرة التحرير

د. جميلة ناصر آل محيا

عضو هيئة التحرير

أ.د. متعب عالي البحيري

عضو هيئة التحرير

أ.د. مفلح زابن القحطاني

عضو هيئة التحرير

أ.د. عبدالحميد سيف الحسامي

عضو هيئة التحرير

د. أحمد علي آل مرعع

عضو هيئة التحرير

د. حمساء حبيش الدوسري

قواعد النشر:

- .1 تقديم البحث إلى المجلة هو التزام وتعهد من الباحث بعدم انتهاك الحقوق الفكرية.
- .2 نشر البحث في المجلة يتضمن موافقة المؤلف على نقل حقوق النشر للمجلة.
- .3 تقبل الأبحاث باللغتين العربية والإنجليزية.
- .4 يجب أن يتصف البحث بالأصالة والابتكار والجدة واتباع المنهجية العلمية، وصحة اللغة وسلامة الأسلوب.
- .5 أن لا يكون قد سبق نشر البحث، أو قُدم للنشر في مكان آخر.
- .6 أن لا يكون البحث جزءاً من كتاب منشور أو مستلأ من رسالة علمية.
- .7 أن لا يزيد عدد كلمات البحث عن عشرة آلاف كلمة بما في ذلك الجداول والملاحق والمراجع.
- .8 في حالة الأبحاث المشتركة (الجماعية) تُرفق اتفاقية موقعة من الباحثين تتضمن نسبة إسهام كل باحث في العمل المقدم للنشر بالمجلة.
- .9 يلتزم الباحث بتقديم ما يفيد بمصدر تمويل الأبحاث في حالة وجود دعم لتلك الأبحاث.
- .10 أن يحتوي البحث على عنوان باللغتين العربية والإنجليزية، وعلى ملخصين باللغتين في حدود (250) كلمة لكل ملخص، ويتضمن الملخصان المدف، والمشكلة، والمنهج، وأهم النتائج، والكلمات المفتاحية.
- .11 دفع رسوم التحكيم والنشر في المجلة بمقابل ألفي ريال.
- .12 إرفاق سيرة ذاتية مختصرة للباحث/ين في صفحة مستقلة.
- .13 إرفاق شهادة تدقيق لغوي للأبحاث المكتوبة باللغة الإنجليزية.
- .14 استخدام نظام جمعية علم النفس الأمريكية (APA) في التوثيق داخل النص وفي كتابة المراجع.
- .15 رومنة المصادر والمراجع العربية بعد كتابتها بالعربية مباشرة، وقبل الانتقال إلى المصادر والمراجع بلغة أجنبية.
- .16 تكتب البحوث العربية بخط Traditional Arabic حجم 16 للمنـ، و 12 للهـامـش.
- .17 تكتب البحوث الإنجليزية بخط Times New Roman حجم 12 للمنـ، وحجم 10 للهـامـش.
- .18 المسافة بين الأسطر.(1.0).

- .19. يوضع عنوان البحث وصفة الباحث في صفحة مستقلة على النحو الآتي: العنوان بالعربية مقاس 20،
واسم الباحث مقاس 18، وصفته مقاس 14، وباللغة الإنجليزية العنوان مقاس 16، واسم الباحث
مقاس 14، وصفته مقاس 12.
- .20. تُراعى الشروط الفنية لنوع الخط وحجمه في الأبحاث التي تتضمن اللغتين العربية والإنجليزية.
على الباحث الالتزام بالتعليمات الفنية، والتدقيق اللغوي قبل إرسال بحثه إلى المجلة.
- .21. يُقدم البحث من خلال نظام التحرير للمجلات العلمية بجامعة الملك خالد على موقع المجلة أو
موقع وحدة المجلات والجمعيات العلمية بجامعة الملك خالد.

الترقيم الدولي: ISSN: 1685-6727

أبحاث العدد:

الصفحة	البحث	٥
34-1	رصد الألفاظ الدخيلية في العربية الحديثة: دراسة في الشيوع والدلالة والأصل اللغوي من خلال مدونة لغوية د. عبدالعزيز بن عبدالله صالح المهيوبى	1
70-35	م الموضوعات الكتابة وأثرها في جودة الأداء الكتابي لدى متعلمي اللغة العربية الناطقين بغيرها: دراسة تحليلية تطبيقية د. مشاعل بنت ناصر آل كدم	2
109-71	القياس والتقويم في سياق تعليم العربية لغة ثانية لأغراض خاصة د. مرزوق علي محمد النباتي الهخلي	3
139-110	الظواهر الأسلوبية في شعر جاسم الصديق: قصيدة "المتنبي...كون في ملامح كائن!" أنموذجًا د. هيفاء سعد القحطاني	4
170-140	تعدد العوالم وتركيب الرموز في رواية الدوائر الخمس لأسامة المسلم: قراءة في بنية السرد الغيبي والواقعي د. منار عز الدين محمد شعيب	5
200-171	السلطة والمقاومة في رواية "العاشق والغزاوة" دراسة أركيولوجية د. لينة أحمد حسن آل عبد الله	6
231-201	واقع الدراسات الثقافية في الجامعات السعودية: الفرص والتحديات في ظل التوجه الأكاديمي نحو الدراسات البنائية د. غزال بنت محمد الحربي	7
257-232	الروائي بين الثاني والالتزام الفني د. عادل بن محمد عسيري	8
279-258	المثل الشعري في منطقة عسير: دراسة إنسانية لمناخه مختارة د. طالع بن أحمد السهيمي	9
312-280	تجليات الذات في ديوان "فاصلة، نقطتان" لشيخة المطيري، دراسة سيميائية د. خليف بن غالب بن مبارك الشمرى	10
342-313	تقنيات التجريب المسرحي في مسرحية "كبرياء التفاهة في بلاد اللامعنى" للسيد حافظ د. إبراهيم عمر علي المحائل	11
365-343	جمالية الخطاب وقراءة المعنى في شعر صفوان بن إدريس المرسي: (دراسة سيميائية) د: عبد الله بن عطيه بن عبد الله الزهراني	12
397-366	حالة الانتظار في الشعر العذري دراسة نفسية أسلوبية د. عمر بن نوح بن ثامر المطيري	13

الصفحة	البحث	٥
431 - 398	المؤشرات اللغوية والسلالم الحجاجية في آيات البعث في القرآن الكريم د. فاطمة بنت عبدالله علي عبدالله	14
469 - 432	بلاغة الإشمار والتشهير في الخطاب السجالي: قصيدة الدامغة لجرير ونقضتها أنموذجاً. د. شيخة علي عسيري	15
495 - 470	تجديد البلاغة العربية في المملكة العربية السعودية: مشروع البلاغة الكويتية عند سعود الصاعدي أنموذجاً د. غادة محمد ذاكر الزبيدي	16
524 - 496	أثر اضطراب كرب ما بعد الصدمة لدى الأمهات الناجيات من العنف الأسري على الأمن النفسي والسلوكي العدواني لدى الأبناء أ. علياء فهد العتيبي	17
562 - 525	سياسات المملكة العربية السعودية في التعامل مع المقيمين السوريين خلال الأزمة: دراسة اجتماعية تحليلية مقارنة للنحوج السعودية والتركية والألمانية تجاه أزمة اللاجئ السوري د. شروق إسماعيل الشريف	18
606 - 563	التحليل المكاني لتوزيع وتطور القرى في محافظة خليص باستخدام الاستشعار عن بعد ونظم المعلومات الجغرافية د. مليحة حامد العبدلي	19
649 - 607	تطبيقات الاستشعار عن بعد ونظم المعلومات الجغرافية والذكاء الاصطناعي المكاني في حصاد مياه السيول بوادي المصير - نيوم - المملكة العربية السعودية د. نجاة سعيد محمد الشهري	20
681 - 650	التحليل الطبوغرافي لمحمية الملك عبد العزيز الملكية وأثره على توزيع الغطاء النباتي باستخدام محرك GOOGLE EARTH ENGINE د. وداد حمدان الروقي	21
698 - 682	دراسة تحليلية مقارنة للخصائص المورفولوجية بين وادي الحنو ووادي خمال شمال محافظة ينبع، باستخدام نظم المعلومات الجغرافية (gis) د. صباح سلطان نعيمش الفريدي	22
730 - 699	مصانع الأدوية في المملكة العربية السعودية: دراسة تحليلية باستخدام نظم المعلومات الجغرافية د. مرام محمد ناصر المقطييف	23

تطبيقات الاستشعار عن بعد ونظم المعلومات الجغرافية والذكاء الاصطناعي المكانى في
حصاد مياه السيول بوا迪 المصير - نيوم - المملكة العربية السعودية

د. نجاة سعيد محمد الشهريانى

أستاذ مساعد - قسم العلوم البيئية - جامعة بيشة

Applications of Remote Sensing and Geographic Information
Systems & Spatial Artificial Intelligence in Water Harvesting in Wadi
Al-Maseer, NEOM, Saudi Arabia

Dr. Najat Saeed Mohammed Alshahrani

Assistant Professor – Department of Environmental Sciences – University of Bisha

ملخص

يقع حوض وادي المصير في منطقة تبوك شمال غرب المملكة العربية السعودية، وإلى شمال من مشروع نيوم، بمساحة تقدر 6367.9 كم²، ويتجه نحو الجنوب الغربي ليصب في البحر الأحمر. وتعاني المملكة من مشكلة الفقر المائي؛ حيث يبلغ نصيب الفرد السعودي السنوي من الموارد المائية المتجددة نحو 74.59 م³/فرد/سنة، مقارنة بمتوسط نصيب الفرد عالمياً، والذي يبلغ 5475.5 م³/فرد/سنة عام 2022م، لذلك تكمن أهمية هذا البحث في كونه يشكل لبنة أساس في موضوعات حصاد المياه. ويهدف البحث إلى تحديد الموقع المثلثي لحصاد مياه السيول في حوض وادي المصير الواقع في شمال غرب المملكة، بما يعزز الأمن المائي، والذي يتوافق مع مشروعات رؤية المملكة 2030، وذلك من خلال تقدير حجم السيول، وإنشاء شبكة للإنذار المبكر للحماية من أخطارها. واعتمد البحث على مرئيات القمر 2 Sentinel لعام 2025م بدقة مكانية 10 أمتار، ونموذج الارتفاع الرقمي للقمر الصناعي SRTM لعام 2014 بدقة 30 متراً، إضافةً إلى بيانات الأمطار اليومية (1985–2024)، واستُخدم برنامج GIS Pro ARC في بناء النماذج الهيدرولوجية والمورفومترية لإيجاد الموازنة المائية، كما استُخدم برنامج Hyfran Plus في حساب المعادلات الإحصائية والرياضية لحساب المعاملات المطرية. وأظهرت النتائج أن متوسط المطر السنوي بلغ 7.3 ملم، مع أحداث نادرة تجاوزت 26 مم. ويتميز الحوض بالخدارات منخفضة واتجاه تصريف نحو الجنوب الغربي. وقد بلغ حجم التصريف 124.7 م³/ثانية، في حين بلغ صافي الجريان حوالي 7955 م³، وتبيّن أن أنساب الموقع للحصاد تقع عند التقاء الروافد الرئيسية خصوصاً من الرتبة الثالثة فما فوق؛ مما يتيح فرصاً لتطوير مشاريع حصاد مياه فعالة، وربطها بشبكة إنذار مبكر لتحقيق استدامة الموارد المائية.

الكلمات المفتاحية: النماذج الهيدرولوجية، الميزانية الهيدرولوجية، حصاد المياه، الذكاء الاصطناعي، الإنذار المبكر.

Abstract

The Wadi Al-Maseer basin is located in the Tabuk region, northwest of Saudi Arabia, to the north of the NEOM project, covering an area of approximately 6367.9 km². The basin drains southwestward into the Red Sea. Saudi Arabia suffers from severe water scarcity, as the annual per-capita share of renewable water resources is about 74.59 m³/person/year, compared to the global average of 5475.5 m³/person/year in 2022. Therefore, the significance of this research lies in establishing a fundamental basis for water-harvesting studies. The study aims to identify the optimal sites for Flash-flood water harvesting within the Wadi Al-Maseer basin in northwestern Saudi Arabia to enhance water security in alignment with Saudi Vision 2030 projects. This is achieved by estimating flood volumes and designing an early warning network to mitigate their hazards. The research utilized Sentinel-2 satellite imagery (2025) with a spatial resolution of 10 m, and the SRTM Digital Elevation Model (MED) (2014) with 30 m resolution, in addition to daily rainfall data (1985–2024). The ArcGIS Pro software was employed to build hydrological and morphometric models to determine the water balance, while Hyfran Plus was used for statistical and mathematical analyses of rainfall parameters. Results indicated that the mean annual rainfall reached 7.3 mm, with rare events exceeding 26 mm. The basin is characterized by gentle slopes and a southwestward drainage direction. The estimated discharge was 124.7 m³/s, with a net runoff of approximately 7955 m³. The most suitable sites for water harvesting were identified at the confluences of the main tributaries, particularly from the third order and above, providing promising opportunities for developing efficient water-harvesting projects integrated with an early-warning network to ensure sustainable water-resource management.

Keywords: Hydromorphometric Modeling – Hydrological Budget– Water Harvesting – Artificial Intelligence (AI) – Early Warning System (EWS).

مقدمة:

تُعدُّ المياه أحد أهم محاور التطور الاقتصادي والاجتماعي؛ حيث إنها أساسية لتلبية الاحتياجات البشرية، وإدارة البيئة، وضمان استدامة التطور الاقتصادي. ورغم أهمية المياه، يرى أن المملكة تواجه تحديات كبيرة بسبب الاعتماد على المخزون المحدود من المياه الجوفية غير المتتجددة، ومعدلات التعریض المنخفضة (2.8 مليار م³) سنويًا، ومن المتوقع أن يرتفع الطلب الحضري على المياه من 15.47 إلى 17.08 مليون م³ يومياً بين عامي 2024 و2030، كما أن الاستفادة من المياه المعالجة ما زالت محدودة بسبب ضعف البنية التحتية والتشريعات، في حين سيزداد إنتاج المياه الحلاة من 4.16 إلى 7.37 مليون م³ يومياً مشكلةً عبئاً اقتصادياً (SWPC, 2024؛ مؤسسة رعاية المياه، 2025).

تسعى رؤية المملكة 2030 عبر الاستراتيجية الوطنية للمياه إلى تحقيق استدامة الأمن المائي إقليمياً وعالمياً (مرجع سابق، 2025)، وتقليل الاعتماد على التحلية والمياه الجوفية. وتدعم الهيئة السعودية للمياه والتشريعات الحكومية هذا التوجه من خلال تشجيع الاستثمارات، وتعظيم الاستفادة من التقنيات الحديثة، وتشجيع البحوث العلمية مثل: دراسات Alataway & El Amin et al., 2013؛ Mahmoud & Al-Azba, 2014؛ Alzghoul & Al-husban, 2021؛ Abd-Elaty et al., 2018؛ Alfy, 2018؛ Alghoul & Al-husban, 2024؛ التي تناولت حصاد مياه الأمطار وإعادة تغذية المياه الجوفية.

كما أقامت الحكومة السعودية عدداً من المعاهد البحثية التي تهتم بأبحاث البيئة والمياه والصحراء كمعهد الأمير سلطان، الذي يهتم بتطبيق نظم حصاد مياه الأمطار في المناطق الصحراوية لرفع كفاءة استخدام المياه وتقليل الهدر. ويأتي هذا البحث كإسهام جيومورفولوجي تطبيقي لدعم مشروعات رؤية 2030 في تحقيق الأمن المائي واستدامة الموارد، عبر تقنيات حصاد مياه السيول بالأودية، ومنها وادي المصير.

أهمية البحث:

تواجه المملكة العربية السعودية تحدياً في ندرة المياه نتيجة وقوعها ضمن النطاق الجاف وشبه الجاف؛ إذ يبلغ نصيب الفرد السعودي من الموارد المائية المتتجدة نحو 74.6 م³/فرد/سنة (FAO, 2022) مقارنةً بنصيب الفرد عالمياً المقدر بـ 5475.5 م³/فرد/سنة (World Bank, 2025). ويبلغ معدل استهلاك الفرد اليومي من المياه 304.8 لتر/يوم (وزارة البيئة والمياه والزراعة، 2030م)؛ مما يعزز الحاجة إلى استراتيجيات فعالة لإدارة الموارد المائية غير التقليدية، وعلى رأسها حصاد مياه السيول.

وانطلاقاً من هذا الواقع تأتي أهمية هذه الدراسة في تحليل حوض وادي المصير الواقع شمال مشروع نيوم، والذي تقدر كميات الجريان السطحي خلاله بنحو 7955³م³؛ باعتباره نموذجاً لتطبيق تقنيات حصاد مياه الأمطار في البيئات الجافة، من خلال دراسة خصائصه المورفومترية والهيدرولوجية لتحديد الموقع المثلث لجمع المياه وتصريفها. ويسهم البحث في تعزيز الأمن المائي المحلي، إضافةً إلى دعم إنشاء نظام للإنذار المبكر من أخطار السيول، بما يتوافق مع توجهات رؤية السعودية 2030 نحو استدامة الموارد الطبيعية وتحقيق التنمية البيئية المتكاملة.

أهداف الدراسة:

1. دراسة الخصائص الطبيعية لحوض وادي المصير.
2. دراسة الخصائص المورفومترية والهيدرولوجية لحوض وادي المصير.
3. تقدير حجم الجريان السطحي لحوض وادي المصير.
4. عمل شبكة للإنذار المبكر للحماية من أخطار السيول.

منهجية الدراسة:

اعتمدت الدراسة على عدد من المناهج، وكانت على النحو الآتي:

1. المنهج الوصفي: يتضمن هذا المنهج وصف الظواهر والخصائص الجغرافية الطبيعية لمنطقة الدراسة، وجمع البيانات المتعلقة بموضوع الدراسة من خلال الكتب والبحوث والتقارير والرسائل والخرائط والمرئيات الفضائية.
2. المنهج الكمي أو التحليلي: استخدم هذا المنهج جملة من المعادلات الرياضية والقياسات الكمية لغرض الوصول إلى النتائج الدقيقة لتحليل البيانات المناخية التي ترتبط بموضوع حصاد المياه بشكل مباشر، فضلاً عن دراسة العناصر الأخرى، مثل: التحليل المورفومترى والهيدرولوجي، واستخدام الطرق الإحصائية والرياضية لإيجاد الموازنة المائية لمنطقة الدراسة، واستخدام المعادلات الهيدرولوجية والمورفومترية لحساب المعاملات المطرية والمساحية وتحويلها إلى جداول وأشكال.
3. الأسلوب الكارتوغرافي: وتم الاعتماد في استخدام هذا المنهج على تقنية نظم المعلومات الجغرافية، ويتحقق هذا الأسلوب التكامل بين العلم والتقنية وإظهار النتائج التي تم الوصول إليها.

الذكاء الاصطناعي: تعمل أنظمة الذكاء الاصطناعي على استيعاب كميات كبيرة من البيانات، وتحليلها؛ بحثًا عن الارتباطات والأنمط للتنبؤ بالحالات المستقبلية. **والذكاء الاصطناعي (AI)** هو جزء رئيس في تحليلات الاستشعار عن بعد وGIS خصوصاً إذا استُخدم للتنبؤ والتصنيف وتحديد الموضع المثلثي، ويمكن أن يطلق عليه **الذكاء الاصطناعي المكانى (Spatial AI)**. وتكمّن الفكرة في إيجاد الموازنة المائية وربطها بشبكة إنذار مبكر في حوض وادي المصير. يعمل الذكاء الاصطناعي على تكامل البيانات من مراكز الأرصاد الجوية والصور الفضائية مع قواعد بيانات مكانية سابقة، تشمل الخصائص الجيولوجية والجيومورفومترية والهيدرولوجية للأودية، إضافة إلى بيانات المستشعرات الأرضية التي ترصد ارتفاع المياه وسرعة تدفقها في أثناء السيول. تُحلل هذه البيانات في الزمن الحقيقي باستخدام أدوات متقدمة للنمذجة الجيوهيدرولوجية والجليومورفومترية، وتطبق عليها خوارزميات ومعادلات متخصصة، يمكن من التنبؤ بخصائص السيول، يتم ذلك من خلال أدوات الذكاء الاصطناعي داخل البرامج:

ARC GIS Pro - في بناء النماذج الهيدرولوجية والمورفومترية بغية إيجاد الموازنة المائية وتحديد الموضع المثلثي لحصاد مياه السيول داخل الحوض المدروس.

Hyfran Plus - حساب المعادلات الإحصائية والرياضية لحساب المعاملات المطرية للبيانات المناخية؛ بهدف تحديد أقصى عمق للمطر، والتنبؤ بسلوك العواصف خلال الأزمنة التكرارية المختلفة بمنطقة الدراسة.

مصادر الدراسة:

1. الخرائط الطوبوغرافية مقاييس 1: 500,000 (لوحة حقل NE38-SE)، إنتاج وزارة البترول والثروة المعدنية، إدارة المساحة الجوية، الرياض، المملكة العربية السعودية، عام 1985م.
2. الخرائط الجيولوجية مقاييس 1: 500,000 (خرسفة رقم I-200A)، وزارة المالية والاقتصاد الوطني، المديرية العامة لشؤون الزيت والمعادن بالتعاون مع هيئة المساحة الجيولوجية الأمريكية، عام 1959م.
3. غوذج الارتفاع الرقمي المنتج من المشروع الأمريكي والإيطالي والألماني المشترك عام 2000، وتم الاعتماد على التحديث الأخير وهو إصدار (V4.1) والذي تم نشره عام 2014 (Shuttle Radar Topographic Mission) المعروف اختصاراً باسم (SRTM) بوضوح مكاني، قدره (30) متراً؛ لاشتقاق القياسات الخاصة بالمتغيرات التضاريسية المورفومترية من ملفات رقمية، توضح الإحداثيات ثلاثية الأبعاد غير المنتظمة (X,Y,Z) لأي نقطة على سطح الأرض مع ارتفاعها.

4. المرئيات الفضائية للقمر الصناعي Sentinel 2 من النوع MSI بدقة وضوح (10x10) مترًا عام 2025.

5. بيانات الأمطار: تم الاعتماد على بيانات الأمطار من خلال وكالة الفضاء الأمريكية ناسا من عام 1985 إلى 2024 م. <https://power.larc.nasa.gov>

الدراسات السابقة:

أولاً: الدراسات العربية

1. توصلت دراسة البارودي (2012) حول تقدير أحجام السيول وأخطارها عند المجرى الأدنى لخوض وادي عرنة جنوب شرق مدينة مكة المكرمة باستخدام نظم المعلومات الجغرافية - إلى أن تصريف الذروة في وادي عرنة جنوب شرق مكة المكرمة بلغ نحو $2170 \text{ m}^3/\text{ثانية}$ ، بحجم جريان يقارب 200 مليون m^3 . وبينت أن خطورة السيول تعود أساساً إلى إشغال مجاري الأودية بالأنشطة البشرية؛ مما يعيق التدفق الطبيعي ويزيد من احتمالية الفيضانات واتساع نطاق الأضرار.

2. هدفت دراسة حميد (2016) إلى التحليل المكانى لتقدير حجم الجريان السطحي باستخدام (SCS CN) لخوض وادي المريجنوى شمال العراق؛ حيث اعتمد الباحث في دراسته المنهج التحليلي الكمي وتطبيق المعادلات الرياضية اعتماداً على نظم المعلومات الجغرافية والاستشعار عن بعد، وأظهرت النتائج أن الجريان السطحي بلغ 258.5 مم، ويتراوح بين 191-293 مم، في حين بلغ حجم الجريان السطحي السنوي نحو 40 مليون m^3 ، أي ما يمثل 37.07٪ من إجمالي الجريان. وأوصى الباحث بتوظيف تقنيتي RS وGIS للحصول على نتائج عالية الدقة.

3. أظهرت دراسة الشرقاوى (2018) أهمية تطبيق نموذج حساب تدفق السيول من مصلحة التربة الأمريكية SCS التي هدفت إلى تقدير كمية التدفق اليومي لسيول أودية النقب والوطاوة والعوشز، والوادي، والعود الرافدة لوادي الرمة التي تمت على مصباتها المنطقة العمرانية لمدينة بريدة، بتطبيق نموذج SCS، وقد أظهر تطبيق هذا النموذج الهيدرولوجي أن متوسط تدفق الذروة للسيول لأوقات الرجوع الممتدة من 5 حتى 100 سنة يتراوح بين (63.9 / ثانية) بخوض وادي العوشز و(250.1 / ثانية) بخوض وادي الوطاة، ونتج عنه متوسط تدفق نوعي، أظهر أن حوض وادي العود هو أكثر الأحواض قدرة على تحويل مياه الأمطار إلى مياه جارية سطحية بمتوسط تدفق نوعي قدره (3.00 / ثانية)، وأن حوض وادي العوشز هو أقل الأحواض المدروسة قدرة على تحويل مياه الأمطار إلى مياه جريان سطحي بمتوسط تدفق نوعي قدره (0.27 / ثانية / كم)، وأوصى



الباحث بتطبيق نموذج SCS؛ للاستفادة منه في تقدير الموارد المائية للسيول باستخدام بيانات النموذج الرقمي (DEM) على أحواض مائية أخرى، لا تحتوي مجاريها على محطات هيدرومترية في المملكة العربية السعودية.

4. أجرى كلٌ من خضر وفؤاد (2023م) دراسة بعنوان: "التحليل والنماذج الجيوهيدرولوجية للموسم الممطر للسيول بوادي قصيب (الدوم) - العين السخنة باستخدام نظم المعلومات الجغرافية والاستشعار عن بعد، والذكاء الاصطناعي"، لتحليل الخصائص المورفولوجية والمورفومترية والهيدرولوجية باستخدام الاستشعار عن بعد، ونماذج الارتفاعات الرقمية، وتقنيات نظم المعلومات الجغرافية، بالإضافة إلى النماذج الهيدرولوجية (SCS-CN، WMS، HEC-HMS). هدفت الدراسة إلى تقدير حجم الجريان السطحي، وحساب الفوائد المائية، وتحليل شبكة التصريف، واقتصرت حلولاً للحد من أضرار السيول ونموذجًا الإنذار المبكر بالاعتماد على الذكاء الاصطناعي. وأظهرت النتائج أن الحوض صغير المساحة ويتميز بارتفاع خطورة السيول نتيجة قصر زمن التركيز وكثافة التصريف العالية؛ مما يستلزم وضع خطط متكاملة للحماية والاستفادة المثلث من الموارد المائية.

ثانيًا: الدراسات الأجنبية

1. قدم Cools وزملاؤه (2012) دراسة بعنوان: "نظام إنذار مبكر للسيول المفاجئة في المناطق شديدة الجفاف في مصر"، تناولت تطوير وختبار نظام إنذار مبكر للسيول في مناطق شديدة الجفاف بشبه جزيرة سيناء. واعتمدت الدراسة على دمج بيانات الأمطار والنماذج العددية وصور الاستشعار عن بعد مع الخبرة المحلية لتقدير معاملات أساسية تشمل حصر أحداث السيول السابقة، وتوزيعها الزماني والمكاني، وتحليل الفوائد المائية. وأظهرت النتائج أن فعالية النظام تعتمد على الأداء التقني إلى جانب قوة الإطار المؤسسي، وكفاءة التشغيل، ووضوح مسارات الاتصال، وخطط الطوارئ.

2. تناول (2014) Saboory في دراسته تطبيق نظم المعلومات الجغرافية لاختيار موقع مشاريع حصاد المياه المناسبة في خلم شمال أفغانستان؛ حيث اعتمد في دراسته على خرائط الغطاء الأرضي وخريطة DEM، وأيضاً الجموعة الهيدرولوجية للتربة والبيانات المناخية للمنطقة، وأجرى مسح اجتماعي في منطقة الدراسة لتحديد المعايير من أجل تحديد الواقع المناسب؛ حيث أظهرت نتائج الدراسة وجود عددٍ من المناطق المناسبة لإنشاء مشاريع الحصاد، وإخراج خريطة تحدد تلك المناطق، والتي تعالج معظم مشكلات نقص المياه في الزراعة.

3. قام (2015) Shereif بدراسة تناولت أهمية حصاد مياه الأمطار في المملكة المتحدة، مع التركيز على الجزء الجنوبي الشرقي من إنجلترا؛ نظرًا لندرة الأمطار في هذا الجزء وتزايد النمو السكاني والتغير المناخي، واعتمد الباحث في منهج دراسته على اختيار معايير تحديد مناطق الحصاد، وجمع البيانات المكانية من خرائط التربة

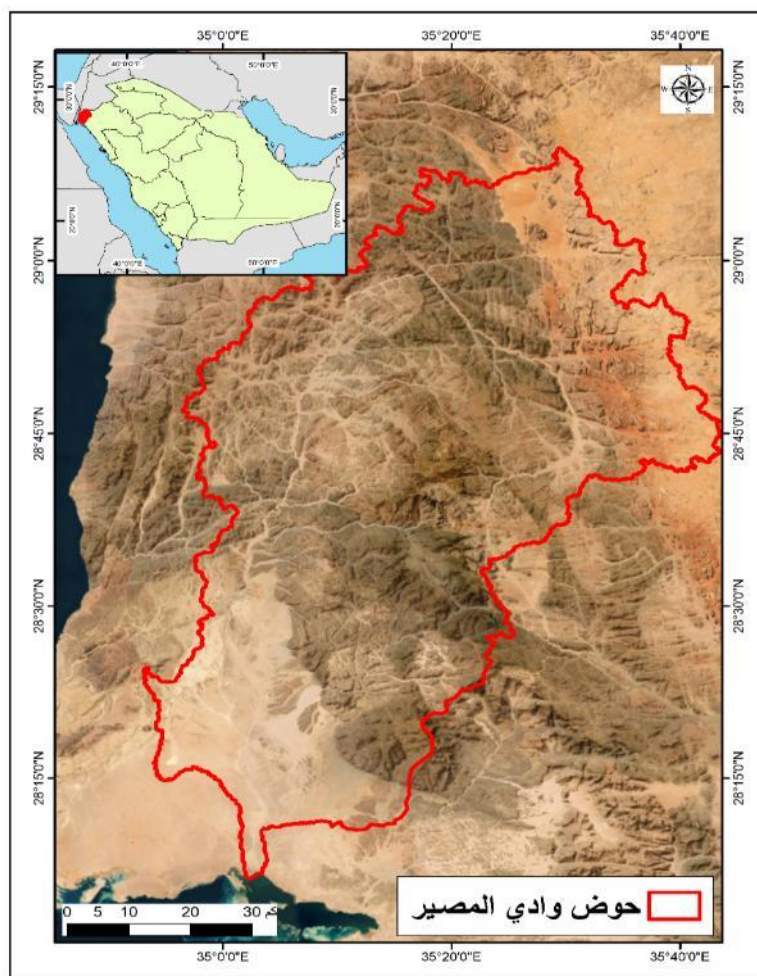
والغطاء الأرضي، واستخدامات الأرضي والخريطة الطبوغرافية للمنطقة، وتقدير معامل الجريان السطحي، وبذلك أُنتجت خرائط لحصاد الأمطار وتغذية المياه الجوفية، وتوصل الباحث إلى أن المناطق الغربية والجنوبية للمملكة هي مناطق مناسبة لـ (Rainwater RWH harvesting)، والتي بدورها تكون مفيدة لصناعة القرار وخطط المياه في المملكة المتحدة، وأوصى بإجراء المزيد من الدراسات المختلفة لتقنيات تجميع مياه الأمطار في المنطقة.

يتضح من الدراسات السابقة، العربية والأجنبية، أنها تبينت في أهدافها بين تقدير أحجام السيول وأخطارها (البارودي، 2012؛ الشرقاوي، 2018)، وتحليل الجريان السطحي وتحديد موقع الحصاد (حميد، 2016؛ Saboory، 2014؛ Shereif، 2015)، والنماذج المتقدمة باستخدام الذكاء الاصطناعي (حضر وفؤاد، 2023)، وتطوير نظم الإنذار المبكر للسيول (Cool et al., 2012). كما اختلفت مناطق الدراسة بين السعودية والعراق ومصر وأفغانستان والمملكة المتحدة، وتنوعت المناهج بين التحليل المورفومترى والنماذج الهيدرولوجية وتقنيات GIS و RS والمسوح الميدانية. وتشابه جميعها في الاعتماد على البيانات المكانية والنماذج الرياضية لدعم إدارة الموارد المائية وتقليل أخطار السيول.

ويضيف هذا البحث عن وادي المصير بعداً تطبيقاً جديداً من خلال دمج تحديد موقع حصاد المياه، وتصميم نظام حماية من أخطار السيول في بيئه جافة داخل المملكة العربية السعودية، مع الاستفادة من المنهجيات السابقة وتكيفها لخدمة أهداف رؤية 2030 في مجال تنمية واستدامة المياه.

منطقة الدراسة:

يقع حوض وادي المصير في منطقة تبوك شمال غرب المملكة العربية السعودية، ويمتد بين خطى طول ($34^{\circ}55'$) و($35^{\circ}44'$) شرقاً وبين دائري عرض ($28^{\circ}5'$ و $29^{\circ}10'$) بمساحة (6367.9 كم^2). ويضم حوض وادي المصير مجموعة من المرتفعات الجبلية في شمال ووسط الحوض كجبال الخرج الصلبة الريشة وجبال كربية، وينتهي جنوب غرب حتى يصب في البحر الأحمر قرب مشروع نيوم (الشكل 1). ويتميز مناخ تبوك بصيف حار وجاف؛ حيث تتراوح درجات الحرارة في أكثر شهور السنة حرارةً (يوليو) بين 29.84°C و 31.13°C في محطة تبوك والوجه، وتتراوح درجات الحرارة في فصل الشتاء في أبرد شهور السنة (يناير) بين 10.87°C و 18.85°C ، على التوالي، وتتسنم الأمطار بالتبذبذب من سنة إلى أخرى؛ إذ يبلغ معدل كمية الأمطار السنوية في أغلب أجزاء المنطقة 31.8 ملم .



شكل (1): موقع حوض وادي المصير

المصدر: من عمل الباحثة اعتماداً على مئيات القمر الصناعي sentinel 2 $10 \times 10 \text{ m}$ عام 2025م

1- الخصائص التضاريسية لحوض وادي المصير

تعدُّ الخصائص التضاريسية من الركائز الأساسية في الدراسات الجغرافية؛ إذ تُحسّد البنية السطحية للأرض، من حيث الارتفاع والانخفاض والشكل والميل، وتشمل الجبال، والهضاب، والسهول، والوديان، وغيرها من الأشكال الأرضية (أبو العلا، 2002).

أ- ارتفاعات السطح

تُعدُّ ارتفاعات السطح من أهم الخصائص التضاريسية للدراسات الجغرافية؛ إذ تمثل مؤشراً أساسياً لفهم البنية الطبوغرافية وتحديد الفروق الرئيسية بين النقاط مقارنة بمستوى سطح البحر؛ مما يؤثر على توزيع الانحدارات

وتشكيل الأشكال الأرضية وتتنوعها (شرف، 1986). يظهر حوض وادي المصير انحداراً عاماً من الشرق إلى الغرب والجنوب الغربي، مما يدل على اتجاه التصريف نحو المناطق المنخفضة. وتتنوع تضاريس المنطقة بشكل واضح؛ حيث تتراوح الارتفاعات بين (1 إلى 2512 متراً) مما يعكس وجود تضاريس متنوعة، تشمل مرتفعات، وأودية، ومن ثم يعطي المنطقة أهمية في الدراسات الجيومورفولوجية. ومن خلال دراسة فئات الارتفاعات تبين أن حوض وادي المصير يتميز بتدرج واضح في الارتفاعات؛ حيث تنقسم إلى أربع فئات رئيسة وفقاً للمجال الرأسي. ويُبيّن الجدول (1) والشكل (2) الآتي توزيع هذه الفئات من حيث المساحة والنسبة المئوية من إجمالي مساحة الحوض البالغة (6367.9 كم²).

جدول (1): ارتفاعات السطح في منطقة الدراسة

الارتفاع بالمتراً	المساحة كم ²	النسبة المئوية %
626–1	1745.5	27.4
1256–627	2781.8	43.7
1884–1257	1734.0	27.2
2512–1885	106.6	1.7
الإجمالي	6367.9	100

المصدر: من عمل الباحثة اعتماداً على نموذج الارتفاع الرقمي SRTM 30*30 عام 2014م

ومن خلال دراسة فئات الارتفاعات في المنطقة نجدتها على النحو الآتي:

1. الارتفاعات المنخفضة (1–626م)

تمثل نسبة (42.7%) من الحوض، وتتركز في الأجزاء الجنوبية الغربية، وهي مناطق ذات انحدارات بسيطة نسبياً، وتحده مناطق تجميع للمياه، وتشكل مجاري الأودية الرئيسية.

2. الارتفاعات المتوسطة (627–1256م)

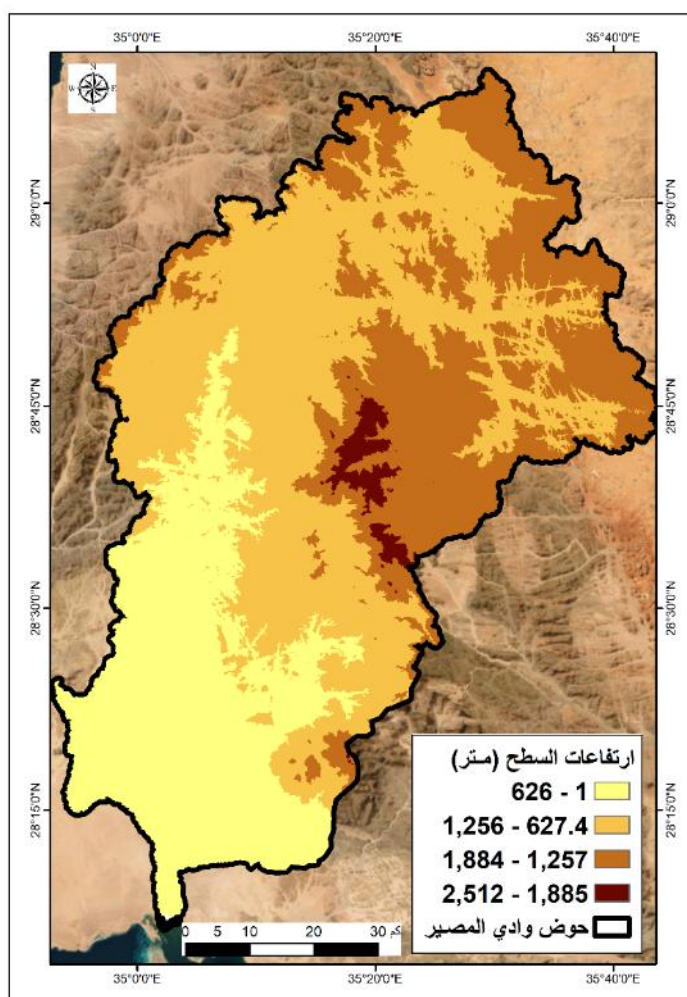
تُعد الأكبر اتساعاً بنسبة (43.7%)، وتتمثل الهضاب والسهول المرتفعة التي تنتشر في وسط الحوض، وهي مناطق انتقالية مهمة بين المนาبع والمصبات.

3. الارتفاعات العالية (1257–1884م)

تمثل نسبة (27.2%)، وتنتشر في المناطق الشرقية والوسطى المرتفعة، وتضم المنابع العليا لمجاري السيول، وتميز بانحدارات متدرجة إلى شديدة.

4. الارتفاعات الشديدة أو الشاهقة (1885-2512م)

تشكل فقط (1.7%) من مساحة الحوض، وتعد المناطق الجبلية شديدة الارتفاع، والتي تمثل مصادر رئيسة للمياه السطحية، وتسهم في تكوين الأشكال الجيومورفولوجية الوعرة.



شكل (2): ارتفاعات السطح في منطقة الدراسة

المصدر: من عمل الباحثة اعتماداً على غووجل الارتفاع الرقمي SRTM 30*30 عام 2014م

ب - انحدار السطح

يُعدُّ الانحدار عنصراً أساسياً في التحليل الطبوغرافي، ويعبّر عن تغير الارتفاع بين نقطتين على سطح الأرض، ويُقاس بالدرجات أو النسبة المئوية. وتكمّن أهميته في تحديد استخدامات الأرض، وتوزيع الغطاء النباتي، وحركة المياه السطحية، وقياس قابلية الأرضي للتعرية والانحراف والانزلاقات الأرضية (عبداللطيف، 2015). ويؤكّد قربة وأبو بكر (Garba & Abubakar, 2023) أن الاستجابة الهيدرولوجية للنهر تتأثّر تأثراً كبيراً بالتضاريس، ولا سيما المنحدرات.

يُظهر تحليل الانحدار الطبوغرافي لحوض وادي المصير تدرجاً واضحاً في قيم الميل؛ حيث تسود الانحدارات المنخفضة (0–10 درجات) في معظم أجزاء الحوض، وتمثل النطاقات السهلية والمجاري السفلية للوديان، في حين تتركز الانحدارات المتوسطة (10.1–20 درجة) والعالية (أكثر من 20 درجة) في الأجزاء الوسطى والعلياً من الحوض، ولا سيما على جوانب الأودية والروافد الرئيسية؛ مما يشير إلى مناطق أكثر عرضة لعمليات التعرية والانحراف السطحي، وتخد من استخدامات الأرض فيها. الجدول (2)، والشكل (3) يوضحان ذلك.

جدول (2): انحدار السطح في منطقة الدراسة

الانحدار بالدرجات	المساحة كم ²	النسبة المئوية %
10– 0	3067.4	48.2
20– 10.1	1522.0	23.8
40– 20.1	1658.8	26.1
77. 6– 40.1	119.7	1.9
الإجمالي	6367.9	100

المصدر: من عمل الباحثة اعتماداً على نموذج الارتفاع الرقمي SRTM 30*30 عام 2014م

ومن خلال دراسة فئات الانحدار في حوض وادي المصير تبيّن ما يأتي:

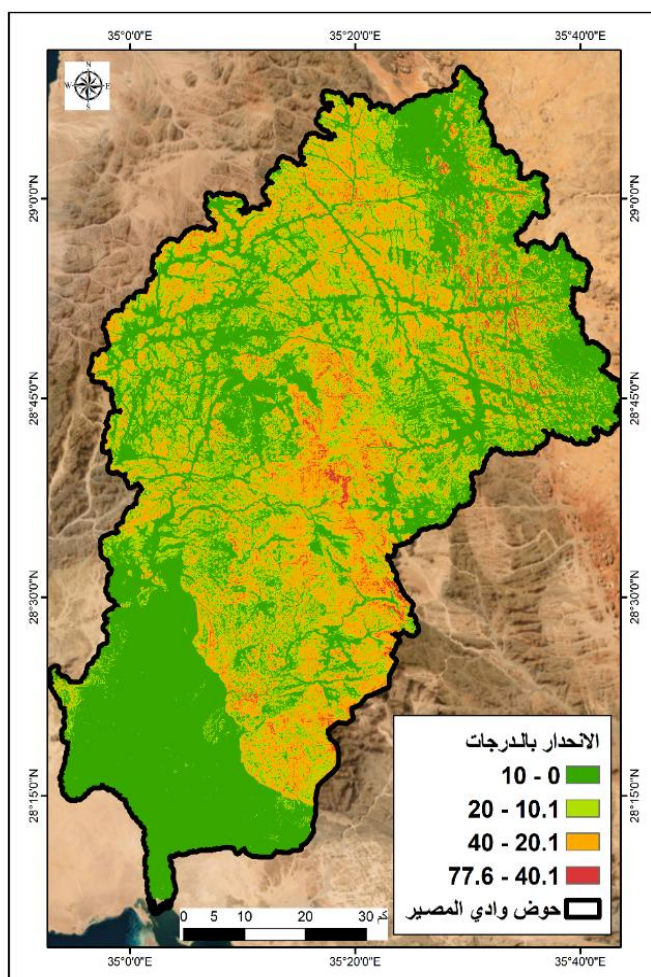
يكشف التحليل الكمي للانحدارات الطبوغرافية في حوض وادي المصير سيادة الانحدارات المنخفضة التي تتراوح بين (0–10 درجات)، والتي تغطي مساحة تقدّر بـ (3067.4 كم²)، تمثل نسبة (48.2٪) من إجمالي مساحة الحوض. ويعكس ذلك هيمنة الطابع السهلي والانحدارات الطفيفة في معظم أجزاء الحوض، وهي مناطق ملائمة للأنشطة الزراعية والرعوية؛ نتيجة لمعدلات الجريان السطحي المنخفضة.

وفي المقابل تمثل الانحدارات المتوسطة (10.1–20 درجة) نسبة (23.9٪) بمساحة تقدر بـ (1522.0 كم²)، وهي تتوزع غالباً في المناطق الانتقالية بين السهول المنخفضة والهضاب والمرتفعات؛ مما يجعلها معرضة نسبياً للتعرية والانجراف، وهذا يستدعي تحطيطاً دقيقاً لاستخدامات الأرضي فيها.

أما الانحدارات العالية (20.1–40 درجة) فتغطي (1658.8 كم²)، بنسبة (26.1٪)، وتُعد مناطق حساسة بيئياً، تتطلب إدارة حذرة؛ نظراً لأخطار الجريان السريع وفقدان التربة. في حين لا تتجاوز الانحدارات الشديدة جداً (40.1–77.6 درجة) سوى (1.9٪) من مساحة الحوض، أي: ما يعادل (119.7 كم²)، وتقتصر على السفوح الجبلية والمنحدرات الحادة التي تمثل مناطق مصداً للتعرية، وتحد من إمكانيات التنمية.

ويُعزز هذا التباين في درجات الانحدار أهمية استخدام هذه البيانات في تقييم الأخطار البيومورفولوجية،

وتوجيه التنمية المكانية.



شكل (3): انحدار السطح في منطقة الدراسة

المصدر: من عمل الباحثة اعتماداً على نموذج الارتفاع الرقمي 30*30 SRTM عام 2014م

جـ- اتجاه الانحدار

يُعد اتجاه الانحدار (Aspect) من الخصائص التضاريسية المهمة؛ إذ يحدد ميل السفوح ويؤثر في الإشعاع الشمسي، ودرجة الحرارة، والرطوبة، والغطاء النباتي. وأظهرت دراسة يانغ وآخرين (2020) في حوض نهر مين بجنوب غرب الصين تأثيره على المناخ المحلي، وخصائص التربة، والعمليات الهيدرولوجية مثل الجريان السطحي وдинاميكية المياه الجوفية، وعلى الغطاء النباتي أيضاً.

جدول (3): اتجاه الانحدار في منطقة الدراسة

الاتجاه الانحدار	النسبة المئوية %	المساحة كم²
مستوى	0.3	17.1
شمال	11.2	712.5
شمال شرق	10.8	687.7
شرق	11.6	735.9
جنوب شرق	12.4	792.7
جنوب	14.2	906.9
جنوب غرب	14.7	937.7
غرب	13.5	857.7
شمال غرب	11.3	719.6

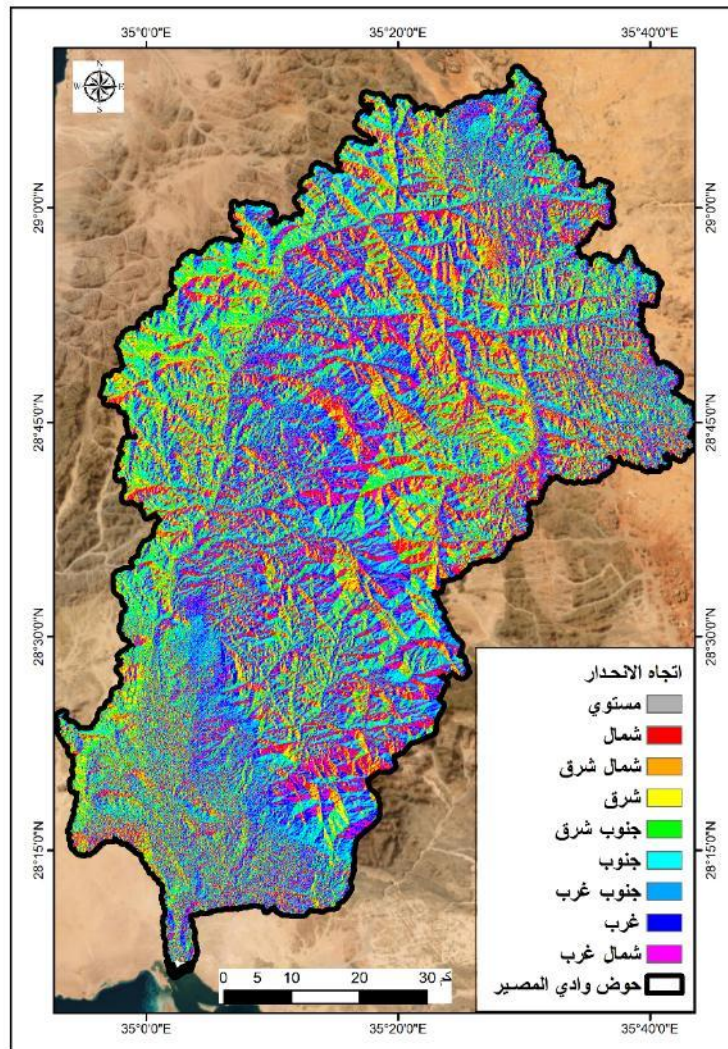
المصدر: من عمل الباحثة اعتماداً على نموذج الارتفاع الرقمي SRTM 30*30 عام 2014م

ومن خلال دراسة اتجاه الانحدار في حوض وادي المصير (الجدول 1) و(الشكل 4) تشير البيانات الإحصائية إلى وجود تباينات واضحة في توزيع الانحدارات على مختلف الاتجاهات الطبوغرافية. ويتبين من نتائج التحليل الإحصائي أن الاتجاهات الجنوبية والغربية تُعد الأكثر شيوعاً؛ حيث يمثل اتجاه الجنوب الغربي والجنوب النسبة الأعلى بـ (14.7%) و(14.2%) على التوالي، يليهما اتجاه نحو الغرب بنسبة (13.5%)، وتُعد هذه الاتجاهات الثلاثة بمنزلة المرات الرئيسة لتصريف المياه السطحية؛ مما يدل على أن البنية التضاريسية للحوض تميل إلى الجنوب الغربي، وهو ما يتافق غالباً مع شبكة التصريف الطبيعية.

كما تُظهر النتائج نسباً ملحوظة لأنحدارات أخرى نحو الجنوب الشرقي (12.4%) والشرق (11.6%)، أما الاتجاهات الشمالية: (شمال، شمال شرق، شمال غرب) فتراوح نسبتها بين (10.8%) إلى (11.3%)؛ مما يدل على وجود انفتاح طبوغرافي نسبي نحو هذه الاتجاهات، مع احتمالية وجود تفرعات ثانوية من شبكة الأودية تتبع هذه الانحدارات.

وفي المقابل يُعد الانحدار نحو الشمال الأقل نسبةً؛ حيث بلغت (11.2٪)، في حين يُعد الاتجاه "المستوى" الأقل إطلاقاً بنسبة (0.3٪)؛ مما يؤكد الطابع المائل للحوض بشكل عام.

تعكس هذه الاتجاهات خصائص جيومورفولوجية مرتبطة بتكون الحوض وميله العام؛ مما يُسهم بشكل فعال في توجيه دراسات الأخطار الطبيعية، مثل: التعرية، والخراف التربة، والسيول. كما يمكن الاستفادة منها في تطبيقات التخطيط الهيدرولوجي، لا سيما في تصميم شبكات التصريف وإدارة الموارد المائية على مستوى الحوض.



شكل (4): اتجاه الانحدار في منطقة الدراسة

المصدر: من عمل الباحثة اعتماداً على نموذج الارتفاع الرقمي 30*30 SRTM عام 2014م

2- التكوينات الجيولوجية

يُعدُّ فهم التوزيع المكانى للتراكيب الجيولوجية من العناصر المهمة في معرفة الشكل العام لشبكة التصريف المائي، وتحديد مسارات حركة المياه السطحية والباطنية (حضر وفؤاد، 2023).

يتضح من تحليل الخريطة الجيولوجية (الشكل: 5) (الجدول: 4) أن التكوينات الجيولوجية لخوض وادي المصير تُشكِّل جزءاً من الدرع العربي النبوي، وتعُد من العوامل الرئيسة المؤثرة في شكل الخوض ونمط تصريفه. وبضم (16) تكويناً، تنتهي إلى عصور مختلفة، وهو ما يعكس تدرجاً زمنياً طويلاً في تطور البنية الجيولوجية للمنطقة. تغطي الصخور النارية والمتحولة القديمة من عصر ما قبل الكمبري معظم مساحة الخوض بنحو (4272.8 كم²) وبنسبة (67.11٪)، وتشمل: صخور الجرانيت والدايورايت والغابرو والسرپنتايت، والرايولait، وصخور بركانية ومتحولة، وهي صخور شديدة الصلابة، أسهمت في تكوين تضاريس وعرة ومنحدرات حادة في بعض الأجزاء.

أما الصخور الرسوبيَّة التي تعود إلى العصور الكمبري والكامبري - الأوردوفيشي فتظهر في الأطراف الشمالية والشرقية، وتغطي مجتمعة مساحة (498.2 كم²) بنسبة (7.82٪) من خوض وادي المصير، وتتميز بنفاذية عالية، تساعد على تسرب المياه وتحفيض الجريان السطحي.

ويتمثل العصري الميوسيني Miocene في عودة النشاط الترسبي في العصر الحديث نسبياً، ويكون من صخور رسوبيَّة، غالباً ما تكون طينية أو رملية، ويمثل (74.5 كم²) من مساحة الخوض، أي: بنسبة (1.17٪). كما يظهر في الجنوب الشرقي صخر ناري مافي برkan، داكن اللون، ناتج عن طفوح بركانية حديثة نسبياً لنشاط برkan متاخر في العصر الثلاثي - الرباعي Quaternary – Tertiary يشكل (50.4 كم²) بنسبة (0.79٪).

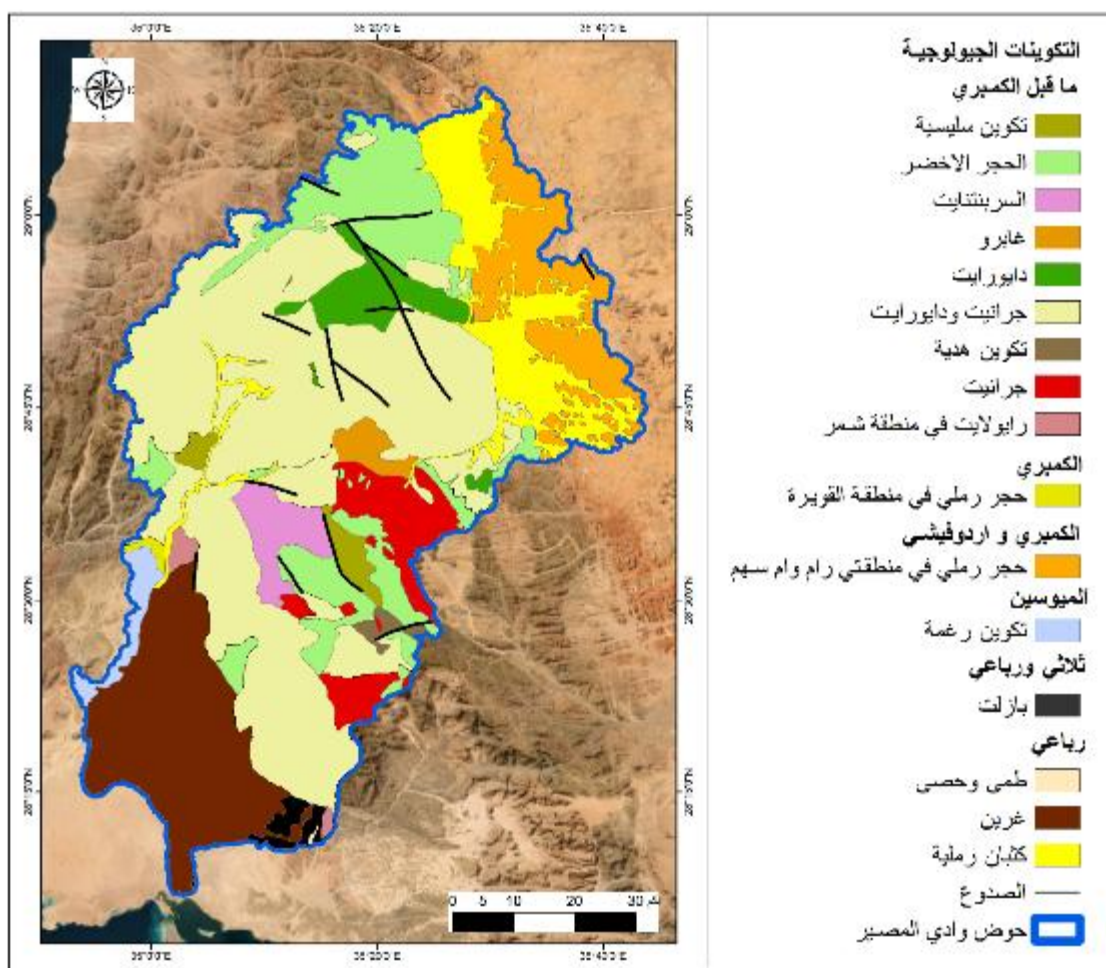
وتتشكل رواسب العصر الرباعي Quaternary من الحصى والطمي، والغرين، والكتبان الرملية نحو (1472 كم²) بنسبة (23.12٪)، وتمثل هذه الرواسب بيئة حيومروفولوجية نشطة، ترتبط بعوامل تعريبة الرياحية والمائية، وتعُد من أهم مناطق الترسيب وحصاد مياه السيول.

وبوجه عام، يُظهر التوزيع الجيولوجي للخوض تبايناً في الصلابة والنفاذية بين الصخور القديمة والحديثة، وهو ما انعكس على الانحدارات واتجاهات التصريف وشدة الجريان داخل الخوض.

جدول (4): التكوينات الجيولوجية في منطقة الدراسة

النسبة المئوية %	المساحة كم ²	نوع الصخر	العصر	التكوين الجيولوجي
1.36	86.7	صخور متحولة غنية بالسيليكا	عصر ما قبل الكلمبي	تكوين سليسية
12.44	792.0	صخور بركانية ورسوبية متحولة		الحجر الأحضر
2.47	157.3	صخر متحول غني بالمنغنيسيوم		السرپنتايت
1.11	70.4	صخر ناري		الغابرو
3.54	225.2	صخر ناري متوسط		الدايورايت
40.33	2567.9	صخور نارية حامضية ومتوسطة		الجرانيت والدايورايت
0.51	32.4	صخور متحولة		تكوين هدية
4.86	309.7	صخر ناري حامضي		الجرانيت
0.49	31.2	صخر ناري بركاني حامضي		الريولايت (منطقة شفر)
0.23	14.9	صخر رسوبى خشن		حجر رملي في منطقة القويرية
7.59	483.3	حجر رملي متعدد التركيب	العصر الكلمبي - الأوروفيشي	حجر رملي في منطقتى رام وأم سهم
1.17	74.5	صخور رسوبية	العصر الميوسين	تكوين رغمة
0.79	50.4	صخر ناري مائي بركاني	العصر الثلاثي - الرابعى	البازالت
0.04	2.4	رواسب مائية خشنة	العصر الرابعى	الطمى والمحسى
13.39	852.4	هي رواسب دقيقة - طينية أو غرينية		الغرين
9.69	617.2	رواسب رحيمية منقولة		الكتبان الرملية

المصدر: من عمل الباحثة اعتماداً على الخريطة الجيولوجية 1:500000 عام 1959م



شكل (5): الخريطة الجيولوجية لمنطقة الدراسة

المصدر: من عمل الباحثة اعتماداً على الخريطة الجيولوجية 1:500000 عام 1959م

3- التحليل المورفومترى :

تعكس دراسة الخصائص المورفومترية للأحواض المائية تأثير العوامل الطبيعية في تشكيل الحوض من جهة، وعلاقتها بالهيدرولوجيا من جهة أخرى، من حيث كمية التصريف وطبيعة الجريان. وتتنوع أشكال الأحواض وفقاً للمرحلة الجيومورفولوجية التي بلغتها؛ إذ تلعب العناصر الطبوغرافية والبنوية دوراً رئيسياً في تشكيلها وتحديد خصائصها. وتُعد هذه الخصائص من أهم العوامل المتحكمة في هيدرولوجية الحوض، لما لها من دور في تحديد الجريان السطحي، وفهم التطور المورفولوجي للحوض من حيث شكل الحوض، والمحيط، ودرجة الانحدار، والتعبير عن العلاقات المكانية بين عوامل الحت والأشكال الأرضية المرتبطة بها والناتجة عنها (سترهيلير وآخرون، 1964).

إن التحليل المورفومترى يُتَّبع وصَّافاً شاملاً لشبكة تصريف نهر ما، وهو شرط أساسى لفهم البيئة وإدارتها، وإجراء النمذجة الهيدرولوجية، والتخطيط المستدام لاستخدام الأرضي، ويُساعد التفاعل بين الخصائص المورفومترية والظروف المناخية السائدة على تحديد ديناميكيات الدورة الهيدرولوجية (Revuelta-*et al.* 2025). وفي ضوء ذلك جرى تحليل الخصائص المورفومترية لحوض وادي المصير (الجدول 6)، بما يعزز القدرة على تحليل الخصائص الهيدرولوجية، وتحديد إمكانات الاستدامة في إدارة الموارد المائية للحوض.

أ- الخصائص المساحية

1- مساحة الحوض

تعكس مساحة الحوض حجم التصريف المائي داخل الحوض؛ إذ تزداد قدرة الحوض على استيعاب أكبر كمية من مياه الأمطار المتساقطة مع زيادة مساحة الحوض، وقد بلغ إجمالى مساحة حوض وادي المصير 6367.9 km^2 .

ب- أبعاد الحوض

1- طول الحوض

وهو أحد المتغيرات المورفومترية المهمة الخاصة بحوض التصريف، ويُقاس ابتداءً من نقطة المصب النهري إلى أبعد نقطة على خط تقسيم المياه. وقد تم تحديد طول الحوض باستخدام طريقة كل من هورتون (Horton, 1932) وشوم (Schumm, 1956)، عن طريق رسم خط موازي ليصل بين نقطتين، وهما متبع الحوض ومصبها، وبلغ طول حوض وادي المصير 138.5 km .

2- عرض الحوض

هو المسافة المنتظمة بين أبعد نقطتين على محيط الحوض؛ إذ يتخذ الحوض شكلًا خاصًا به بحسب العلاقة ما بين مساحة الحوض وطولها، وهذه العلاقة تحدد قيمة متوسط عرض الحوض، ويتم استخراج متوسط عرض الحوض من خلال المعادلة التالية:

$$\text{متوسط عرض الحوض} = \frac{\text{مساحة الحوض}}{\text{طول الحوض}} \text{ km}^2 / \text{كم} (\text{محسب، 2001}).$$

ومن خلال تطبيق المعادلة السابقة نجد أن عرض حوض وادي المصير بلغ 45.9 km .

ج- محیط الحوض

يمثل محیط الحوض خط تقسيم المياه الذي يفصل بين الحوض والأحواض المجاورة، ويعبر عن مدى انتشار الحوض واتساعه، وقد بلغ محیط حوض وادي المصير (579 كم).

د- الخصائص الشكلية

تعدّ الخصائص الشكلية من أهم المعاملات المورفومترية الأساسية لفهم التطور الجيومورفولوجي للأحواض والعمليات التي شكلتها، إلى جانب معرفة تأثير الشكل على حجم التصريف النهرى، ومقدار كمية التصريف الواسلة إلى المجرى الرئيس، والذي ينعكس على تحديد درجة أخطار السيول. وتتأثر الخصائص الشكلية للأحواض بطبع المناخ السائد والعمليات الجيومورفولوجية وطبيعة الصخور (الزرقى، 2021). واستُخدمت العديد من المعاملات والمعايير لتحديد خصائص شكل الحوض كما يتضح في الجدول (5):

1. سجل وادي المصير معامل استطاله بلغ (0.46)، ومن ثم تؤثر هذه النسبة في بداية الجريان من أبعد نقطة في أعلى الحوض، ثم انتقاله عبر المجرى الرئيس وصولاً إلى المصب.
2. بلغ معامل الاستدارة لحوض وادي المصير (0.24)؛ مما يدل على أن الحوض يميل إلى الشكل المستطيل، ويبعُد عن الشكل الدائري، ومن ثم فهو أقل حدة في احتمال السيول القوية.
3. ينخفض معامل الشكل في حوض وادي المصير (0.33)؛ مما يدل على اتساع طولي واضح وقلة التناسق الشكلي، وهو الأمر الذي يؤدي إلى إطالة زمن الجريان السطحي وتأخير زمن التصريف للمياه.
4. سجل معامل الانبعاج في وادي المصير نحو (0.12)؛ مما يدل على استطاله الحوض. ويُعد هذا المعامل أحد المؤشرات المهمة لتحديد شكل الحوض الطبيعي بعيداً عن الأشكال الهندسية المجردة.

جدول (5): معادلات الخصائص الشكلية والتضاريسية للأحواض المائية

المعادلة	المتغير
	نسبة الاستطالة
$Rc = 12.57 * (A/P^2)$ (Pareta & Pareta, 2012 ; after Miller, 1960)	نسبة الاستدارة
مساحة الحوض كم^2 / مربع طول الحوض كم (Horton, 1932)	معامل الشكل
$K = \frac{L^2}{4A}$ (Gregory & Walling, 1973)	معامل الانبعاج
$Rr = (\max H - \min H) / Lb$ (Schumm, 1956)	نسبة التضرس
تضاريس الحوض م / محيط الحوض كم (أبو العينين، 1990)	التضاريس النسبية
تضاريس الحوض X كثافة التصريف / 1000 (ستا، 2011).	قيمة الوعورة
مساحة الحوض كم^2 / تضاريس الحوض م (الدليمي، 2012).	التكامل الهيسيومترى

الخصائص التضاريسية :

تُعد دراسة الخصائص التضاريسية للأحواض أداة مهمة لفهم المرحلة العمرية الحتية التي وصلت إليها، ومدى تطور الشبكة المائية فيها بفعل عمليات التعرية والتوجوية المتنوعة، فضلاً عن معرفة طبيعة ونوعية المظاهر الأرضية المرتبطة بها (الزرفي، 2021)، والمجدول (5) يوضح ذلك.

- بلغت نسبة التضرس في حوض وادي المصير قيمة مرتفعة نسبياً (18.1 $\text{م}/\text{كم}$)؛ مما يشير إلى انحدار طولي شديد لفارق الكبير بين المبنع والمصب؛ مما يعكس طاقة تعرية عالية وسرعة تصريف كبيرة، وهو ما يزيد من احتمالية حدوث السيول المفاجئة.
- بلغت التضاريس النسبية في حوض وادي المصير (2.1)؛ مما يشير إلى تضاريس مرتفعة نسبياً، تؤثر في جريان المياه وتسرّها.
- سجلت قيمة الوعورة في حوض وادي المصير نحو (0.47). وُتَّعد هذه القيمة مؤشراً على وجود قابلية لتشكيل الجريان السطحي السريع؛ مما يزيد من احتمالية تكون السيول وتفاقم أخطارها خاصة خلال المطولات المطرية المفاجئة.

4. يتضح زيادة التكامل الهيسومتري ليمثل (1.53) مما يدل على زيادة مساحة الخوض وتميزه بتضاريس مرتفعة نسبياً.

جدول (6): الخصائص المورفومترية لخوض وادي المصير

الخصائص المورفومترية لخوض التصريف	
القيمة	المتغير
6367.9	مساحة الخوض كم ²
579.0	محيط الخوض كم
138.5	طول الخوض كم
45.9	عرض الخوض كم
الخصائص الشكلية لخوض التصريف	
0.46	نسبة الاستطالة
0.24	نسبة الاستدارة
0.33	معامل الشكل
0.12	معامل الانبعاج
الخصائص التضاريسية لخوض التصريف	
18.1	نسبة التضريس م/كم
2.1	التضاريس النسبية
0.47	قيمة الوعورة
1.53	التكامل الهيسومتري

المصدر: من عمل الباحثة اعتماداً على نموذج الارتفاع الرقمي SRTM 30*30 عام 2014م

ويمكن القول: إن الخوض يتميز بانحدارات واضحة وتضاريس مرتفعة، وهو ما يعكس استجابة هيدرولوجية كبيرة، وزيادة سرعة الجريان وشدة، في حين أن ارتفاع نسبة التضرس ومعامل الوعورة والتكامل الهيسومتري دل على كفاءة تصريف مرتفعة، تزيد من احتمالية تشكيل السيول خلال أوقات العواصف المطرية. وبناء على ذلك فإن هذه الخصائص تبرز أهمية تحفيظ منشآت حصاد المياه، وبناء نظام إنذار مبكر للسيول.

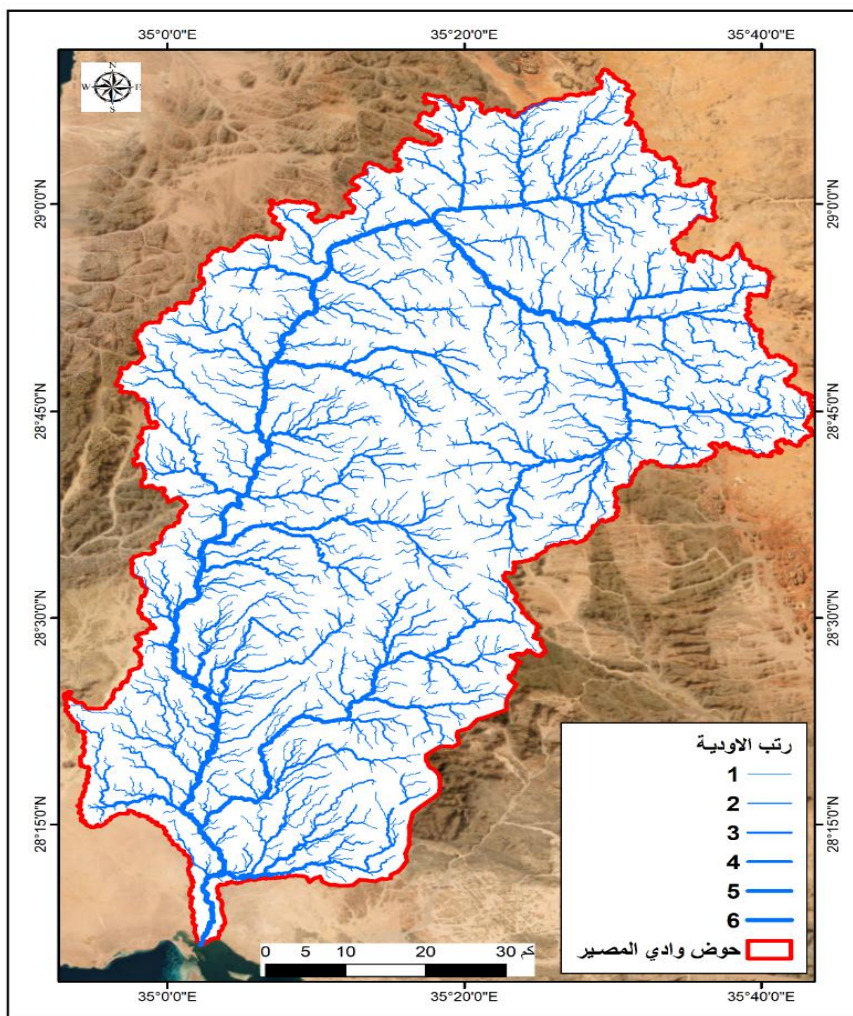
خصائص شبكة التصريف في خوض وادي المصير:

تُعد الخصائص الهيدرولوجية لأحواض التصريف من أبرز المؤشرات على تأثير العوامل المناخية وطبيعة الأحواض في حجم الموارد المائية بالمناطق الجافة وشبه الجافة، كما تمثل المحددات الأساسية لتقدير درجات خطورة السيول داخل هذه الأحواض (الخرجبي، 2016) ويوضح ذلك الجدول (7) على النحو الآتي:

1. اعتمد طريقة ستراهيلر (Strahler, 1954; Strahler, 1958) في رتب المجرى، وتبيّن أن حوض وادي المصير يحتوي ست رتب هنية، مما يدل على ارتفاع واضح في شبكة التصريف السطحي (الشكل 6).
2. بلغ أعداد المجرى في حوض وادي المصير (1436) مجرى (الجدول 7) و(الشكل 6)، مما يُشير إلى ارتفاع معدل تصريف الحوض.
3. بلغت أطوال المجرى في حوض وادي المصير نحو (4938 كم)؛ مما يثبت أن الحوض ذو كفاءة جيدة في تصريف المياه، وأن زيادة أطوال المجرى تعطي فرصة لزيادة التبخر أو التسرب. كما يرتبط طول المجرى بعلاقة طردية مع تغذية الخزين الجوفي، فكلما زاد طول المجرى زادت احتمالية تغذية المياه الجوفية (Rao et al., 2010).
4. تحسّب نسبة التشعب كنسبة عدد المجرى من رتبة معينة إلى المجرى من الرتبة التي تليها. وترتفع هذه النسبة في حوض وادي المصير إلى (4.7)؛ حيث تعكس النسبة العالية قدرة الحوض على إنتاج السيول.
5. تقلّل كثافة التصريف العلاقة بين أطوال المجرى في الحوض إلى مساحته، وهي انعكاس لجيولوجيا الحوض والبنية والنفاذية والظروف السائدة، وبلغت كثافة التصريف في حوض وادي المصير نحو (0.78)؛ مما يؤكد قدرة جيدة للحوض في نقل المياه إلى مخرجه.
6. معدل بقاء المجرى هي النسبة بين مساحة الحوض (كم^2) إلى مجموع أطوال المجرى (كم)، وتشير نتائجه إلى متوسط الوحدة المساحية التي تغذّي الوحدة الطولية ضمن شبكة أحواض الصرف، وقد بلغ معدل بقاء المجرى في حوض وادي المصير قيمة بـ(1.29). وهذا يدل على أن للحوض قدرة محدودة على التخزين الطبيعي؛ مما يجعل كميات المياه القابلة للحصاد مرتفعة في الواقع التي تتجمع فيها الروافد.
7. يعبّر معدل النسيج الطبوغرافي عن مدى شدة تقطيع سطح الحوض، ويتأثر بعده عوامل، منها: المناخ، والتكون الصخري، ونوع الغطاء النباتي، ومرحلة التطور الجيولوجي التي يمر بها الحوض. وقد بلغ معدل النسيج الطبوغرافي (2.48) في منطقة الدراسة، وتدل هذه النتيجة على تأثير شبكة التصريف بخصائص السطح الصخري والأنحدار العام والبنية الجيولوجية، وانعكاسها على زمن التركيز وسرعة الجريان؛ مما يعني استجابة هيدرولوجية عالية للحوض، ومن ثم تبرز أهمية استثمار مناطق الالتقاء الرئيسية في حصاد المياه.

جدول (7): خصائص شبكة التصريف المائية في حوض وادي المصير

القيمة	المعادلة	المتغير
6	اعتمدت طريقة ستاهلر (Stahler, 1954)	رتب الأودية
1436.0	-	أعداد المجرى
4938	-	أطوال المجرى (كم)
4.7	(Schumm, 1956) $Rb = Nu / Nu+1$	نسبة التشعب
0.78	(Waikar & Nilawar, 2014) $D = \sum Lu / A$	كثافة التصريف
1.29	مساحة الحوض كم ² / مجموع أطوال المجرى (Smith, 1950)	معدل بقاء المجرى
2.48	أعداد الأودية في حوض التصريف / طول محيط الحوض (Horton, 1945)	معدل التسخين الطبوغرافي



شكل (6): شبكة التصريف في حوض وادي المصير

المصدر: من عمل الباحثة اعتماداً على نموذج الارتفاع الرقمي SRTM 30*30 عام 2014م

الخصائص الهيدرولوجية بحوض وادي المصير:

1- زمن التركيز

يُعرَّف زمن التركيز بأنه: المدة الزمنية التي تحتاجها المياه أثناء انتقالها من أبعد نقطة في الأجزاء العليا للحوض، ومن ثم انتقالها عبر الجرى الرئيس حتى وصولها إلى منطقة مصب حوض الوادي (بورية، 2007)، ويُستخرج من المعادلة الآتية:

$$TC = (L) / (1.15 / 7700) H \quad (H \text{ (ساعة)})$$

إذ إن: TC = زمن التركيز (ساعة)

L = طول المجرى الرئيس (م)

H = الفارق الرأسي بين أدنى وأعلى نقطة في الحوض (م)

(0.38) و(1.15) أسس ثابتة، تدل على خصائص الحوض من نبات طبيعي ومفتات سطحية وخشونة السطح (الفتيوري، 2014)، وبتطبيق المعادلة أعلاه على منطقة الدراسة اتضح أن زمن التركيز بلغ (9.37 / ساعة)؛ مما يشير إلى استجابة بطيئة نسبياً، قد تؤثر في توقيت ذروة التصريف في أثناء المطرولات المطرية الشديدة، وهو وقت كاف لتفعيل أنظمة الإنذار المبكر قبل حدوث ذروة الجريان، كما تساعد هذه القيمة في تصميم سعة السدود الصغيرة والحواجز الترابية لتخزين جزء من الجريان السطحي قبل وصوله للمصب.

2- زمن التباطؤ

يُعرَّف زمن التباطؤ بأنه: الزمن الفاصل بين بداية التساقط المطري وبدء الجريان السطحي. ويُعدُّ من الخصائص الهيدرولوجية المهمة التي تحدد الوقت اللازم لبداية الجريان السطحي، ويتأثر زمن التباطؤ بعده عوامل، منها: التراكيب الخطية (الفوائل والشقوق وطبيعة التكوينات الصخرية) (العتابي، 2018). ويتم الحصول عليه من خلال المعادلة الآتية:

$$TP = Ct (Lb * Lca) 0.3$$

TP زمن التباطؤ (ساعة)

Ct = معامل زمن الذروة وهو خاص بطبيعة الحوض وانحداره وقيمته (1.2).

Lb = طول المجرى الرئيس (كم).

Lca = المسافة بين مصب الحوض ومركز ثقله (كم) (الفتلاوي والزاملي، 2020).

ومن خلال تطبيق المعادلة على وادي المصير بلغ زمن التباطؤ (21.76 دقيقة).

3- سرعة الجريان

تُعد سرعة الجريان من الخصائص الهيدرولوجية المهمة في تحليل الأحواض المائية؛ إذ تؤثر مباشرةً في شدة السيول وزمن استجابة الحوض، وتتأثر بوجود مجموعة من العوامل التي تؤثر في سرعة الجريان السطحي ومدى استجابة الحوض، كخصائص التربة والخصائص الجيومورفولوجية الكمية المتمثلة في هندسة الحوض، والتي تؤثر في أدائه متمثلة بالانحدار وقوة التدفق ونسبة المساحة التي تؤثر في معامل الجريان (الخفاجي والموسوي، 2021). وبما أن حوض وادي المصير يُعد من الأحواض الموسمية التي تقع ضمن الأحواض الجافة وشبكة الجافة؛ لذا تم اعتماد معادلة (جاتون)، كمعادلة تجريبية لحسابه، وتمثل على النحو الآتي:

$$V=L(\text{km})/3.6 \text{ TC(h)}$$

إذ إن: V = سرعة الجريان السطحي (م/ث).

و L = طول المجرى (كم).

TC = زمن التركيز (ساعة) (المشهداي، 2020).

وبنطبيق المعادلة بلغت سرعة الجريان (1.7 كم/ساعة)؛ مما يعكس درجة عالية من استجابة الحوض الهيدرولوجية، وضرورة مراعاة هذا العامل عند دراسة أحطر السيول في المنطقة.

4- حجم التصريف

يعكس حجم التصريف كمية المياه المتجمعة من كل أرجاء الحوض، ويعبر عنه بوحدة ($\text{m}^3/\text{ثانية}$)، فتراعي هذه المعامل أن كل أجزاء الحوض تسقط عليها كميات من المياه بصورة متساوية (حضر وفؤاد، 2023)، وقد استُخدمت هذه العلاقة من قبل وزارة الزراعة الأمريكية لتقدير حجم التصريف، وتحسب وفق المعادلة الآتية:

$$H = 1.5, (L \cdot T)^{0.85}$$

حيث إن: H : حجم التصريف، L : ت: مجموع أطوال الروافد التراكمي (كم).

.(U. S. Department of Agriculture, 1997)

وبنطبيق المعادلة على حوض وادي المصير بلغ حجم التصريف (124.7 $\text{m}^3/\text{ثانية}$)؛ مما يشير إلى كفاءة تصريفية عالية، وزيادة خطورة السيول.

5- زمن التصريف

يُقصد بزمن التصريف: المدة الزمنية التي يستغرقها الحوض في صرف المياه من مكان سقوطها حتى تصل إلى نقطة المصب (حضر وفؤاد، 2023)، ويُعد هذا الزمان من المؤشرات الهيدرولوجية المهمة في تقييم استجابة الحوض للتساقط المطري، ويتم حسابه من خلال المعادلة الآتية:

$$Td = (L)^{1.15} / 7700 (H)^{0.38}$$

.(U. S. Department of Agriculture,1997)

حيث إن: Td: زمن تصريف الحوض، L: طول المجرى الرئيس بالمتر، H: الفارق الرأسي بين نقطة المصب وأعلى نقطة في الحوض بالمتر (الودعاني، 2014).

وبلغ زمن تصريف حوض وادي المصير (26.3 ساعة)، وهي تعكس كبير مساحة الحوض وانحدراته وتكونياته الجيولوجية والمظاهر الجيومورفوجية والهيدرولوجية، ومن ثم يُصرف المياه خلال فترة طويلة؛ مما يُعد مناسباً لحصاد المياه واستدامتها.

6- الفوائد

تُعد الفوائد من العوامل الأساسية المؤثرة في درجة خطورة السيول؛ إذ يعتمد استمرار الجريان منذ بدايته حتى نهايته على حجم الفوائد، إضافة إلى العوامل الأخرى، وعken حساب إجمالي الفوائد من خلال حساب الفوائد من التبخر والتسرُّب من خلال المعادلات الآتية:

التبخر خلال زمن التصريف = إجمالي التبخر في الساعة \times زمن تصريف الحوض (حضر وفؤاد، 2023).

وبلغت قيمة التبخر خلال زمن التصريف في حوض وادي المصير ($313.1 \text{ م}^3/\text{ث}$).

أما إجمالي الفاقد بالتسرب خلال زمن التباطؤ فـ= مساحة الحوض \times زمن التباطؤ $\times 0.08 \text{ ملم}/\text{ دقيقة}$ (Willson, 1980).

وبلغت قيمة التسرب خلال زمن التباطؤ في حوض وادي المصير ($47.6 \text{ ملم}/\text{ دقيقة}$).

- قيم التسرب الثابتة

يُقصد بقيم التسرب الثابتة: مقدار ما يتتسرب من المياه داخل الصخور الأصلية الواقعة أسفل الرواسب السطحية التي تغطي منحدرات الأحواض وقاعدتها (حضر، 1997). ويُعد هذا النوع من التسرب من الفوائد المهمة، خصوصاً في الأحواض ذات التكوينات المنفذة. ويتم حساب قيم التسرب من خلال المعادلة الآتية:

$$Q = T M X N - Z \quad (\text{Waltz, 1973, p.123})$$

حيث إن: Q : قيم التسرب الثابتة، T : معدل التسرب، M : مساحة الحوض، N : زمن التصريف، Z : زمن التباطؤ.

وبلغت قيمة التسرب الثابت في حوض وادي المصير (3.9 m^3).

- جملة الفوائد

تُعرَّف جملة الفوائد بأنها: مجموع كميات المياه المفقودة عبر التبخر والتسرب، ويُحسب وفق المعادلة الآتية:

جملة الفوائد (m^3) = التبخر أثناء زمن التصريف + التسرب خلال زمن التباطؤ + قيمة التسرب الثابتة (حضر، 1997).

بلغ إجمالي الفوائد في حوض وادي المصير (386.6 m^3).

- صافي الجريان

يمثل صافي الجريان كمية المياه الناتجة من الأمطار بعد استبعاد الفوائد الناتجة عن عمليتي التسرب والتبخر، ويعُد الأساس في تقدير كمية الجريان السطحي، ويُحسب من خلال المعادلة الآتية:
صافي الجريان $\text{m}^3 = \text{إجمالي المياه الساقطة} - \text{الفوائد}$ ، (مرجع سابق، 1997). وبلغ صافي الجريان في حوض وادي المصير (7954.8 m^3)، ويمكن استغلال الجريان المتجمع عند التقاء الروافد الرئيسية في إنشاء خزانات أو مناطق حوضية والتغذية الجوفية.

جدول (8): الخصائص الهيدرولوجية لحوض وادي المصير

وادي المصير	المتغير
9.37 / ساعة	زمن التركيز ساعة
21.76 / دقيقة	زمن التباطؤ دقيقة
7.1	سرعة الجريان كم/ساعة
124.7	حجم التصريف $\text{m}^3/\text{ثانية}$
26.3	زمن التصريف / الساعة
313.1	التبخر خلال زمن التصريف $\text{m}^3/\text{ث}$
47.6	التسرب خلال زمن التباطؤ $\text{m}^3/\text{ث}$
25.9	قيمة التسرب الثابتة m^3
386.6	جملة الفوائد m^3
7954.8	صافي الجريان m^3

المصدر: من عمل الباحثة اعتماداً على نموذج الارتفاع الرقمي SRTM 30*30 عام 2014م



- التحليل التكراري للأمطار اليومية القصوى خلال فترات رجوع مختلفة

يُشكل تحديد كمية الأمطار الماطلة على حوض الدراسة بدقة عنصرًا جوهريًّا في تقدير حجم السيول الناجمة عنها، إذ يُعد عمق المطول العامل الأساسي الأكثر تأثيرًا في تولد السيول. وتبرز أهميته عند وضع خطط وتنفيذ المشاريع؛ نظرًا لارتباطه المباشر بشدة الجريان السطحي واحتمالية حدوث السيول؛ لذلك تم إجراء تحليل إحصائي لأعلى القيم اليومية لهطول الأمطار خلال الفترة من عام 1985م حتى عام 2024م، باستخدام برنامج Hyfran Plus.

Gev, Gumbel, Weibull, Normal, Lognormal, Pearson Type3, Log-Pearson Type3, Exponential.

جدول (9): أعلى تساقط يومي في العام في منطقة الدراسة بين عامي 1985-2024م

كمية المطر مم	السنة	كمية المطر مم	السنة	كمية المطر مم	السنة
6.65	2012	1.85	1999	10.91	1985
7.90	2013	4.95	2000	26.95	1986
17.65	2014	5.54	2001	9.88	1987
12.44	2015	3.96	2002	1.25	1988
7.32	2016	3.32	2003	12.72	1989
4.11	2017	8.40	2004	4.18	1990
6.50	2018	1.16	2005	9.11	1991
5.95	2019	7.94	2006	4.83	1992
12.55	2020	0.84	2007	10.24	1993
7.14	2021	1.20	2008	6.56	1994
19.84	2022	0.91	2009	0.43	1995
4.49	2023	15.59	2010	9.28	1996
1.36	2024	14.33	2011	2.63	1997
				0.81	1998
0.43		القيمة الصغرى			
26.95		القيمة العظمى			
7.34		المتوسط			

المصدر: من عمل الباحثة اعتماداً على بيانات الأمطار من موقع <http://power.iarc.nasa.gov/>

تُظهر بيانات التساقط المطري اليومي في منطقة الدراسة خلال الفترة (1985-2024م) تباينًا كبيرًا في كميات الهطول المسجلة (من 0.43 مم إلى 26.95 مم)، بمتوسط سنوي قدره (7.34 مم)؛ مما يعكس طبيعة

المناخ الجاف وشبه الجاف السائد في المنطقة، والذي يتسم بتقلبات كبيرة في معدلات المطر، هذا التباين يعزى إلى:

- تأثير الأنظمة الجبهية العابرة، خاصة خلال فصل الخريف والربيع؛ حيث أظهر تحليل بيانات محطة الأرصاد في تبوك (1978-2013) أن أعلى كميات الأمطار في السنوات الربطة تسجل في نوفمبر، في حين تسجل أعلى كميات السنوات المعتدلة في مارس، أما السنوات الجافة فتسودها درجات حرارة مرتفعة خلال يونيو ويوليو وأغسطس (Alsubeai & Burckhard, 2021).
- التأثير المشترك لانخفاض البحر الأحمر، الذي يجلب الهواء الحار والرطب من الجنوب، مع الرياح الغربية العلوية المارة فوق المملكة من أكتوبر إلى مايو، يؤدي إلى تكاثف السحب وهطول الأمطار في مناطق واسعة من المملكة (Govardhan et al., 2025).
- الأمطار الغزيرة النادرة (مثل 26.95 مم في 1986) تحدث سلوكاً مفاجئاً (Flash Floods)، والتي تُساهم في نحت الأودية الجافة ونقل الرواسب.

جدول (10): عمق المطر للأزمنة التكرارية المختلفة بمنطقة الدراسة خلال الفترة من 1985-2024 م

التوزيع الإحصائي	2	5	10	25	50	100
GEV	8.1	14.2	18.6	24.1	28.4	32.7
Gumbel	6.2	11.2	14.5	18.7	21.8	24.9
Weibull	6.9	11.8	15.1	19.8	23.5	27.3
Normal	5.4	9.8	12.7	16.5	19.3	22.1
Log-Normal	6.9	12.1	16.3	21.4	24.9	28.5
Pearson Type3	7.1	12.6	16.8	21.9	25.7	29.8
Log-Pearson Type3	7.2	12.9	17.2	22.3	26.1	30.1
Exponential	5.8	10.6	14	18.5	21.9	25.4

المصدر: من عمل الباحثة اعتماداً على التحليل الإحصائي عن طريق Hyfran

خلال فترة الرصد (1985-2024)، أظهرت جميع التوزيعات الإحصائية زيادة عمق المطر مع ازدياد فترة التكرار؛ حيث برع توزيع GEV بتقديمه أعلى تقديرات للأمطار القصوى لفترة 100 سنة (32.7 ملم)، بليه توزيع Log-Pearson Type 3 بقيمة 30.1 ملم؛ مما يشير إلى توقيع هذه التوزيعات لأحداث مطرية أكثر شدة مقارنة بالتوزيعات الأخرى. وفي المقابل سجل توزيع Normal أقل القيم لجميع فترات التكرار؛ حيث بلغت 22.1 ملم لفترة 100 سنة، و5.4 ملم لفترة سنتين.

كما يتضح أن الفروقات بين التوزيعات تزداد مع طول فترة التكرار؛ مما يعكس حساسية النماذج الإحصائية في تمثيل القيم المتطرفة، ويستدعي تقييم دقة كل نموذج قبل اعتماده في التنبؤات الهيدرولوجية.

- استخدام الذكاء الاصطناعي في الحد من أخطار السيول

الذكاء الاصطناعي (AI) هو عملية محاكاة لعقل الإنسان، من خلال تعليم الآلات بعض القدرات المشابهة للبشر (Manning, 2020). ويمكن لتقنيات الذكاء الاصطناعي أن تسهم في مواجهة تغير المناخ، من خلال قياس التأثيرات والأخطار الناجمة عن أحداث قاسية، مثل: الفيضانات، والجفاف، وموحات الحر، والرياح العاتية (Jones et al., 2023). وتعتمد هذه التقنيات على تحليل كميات هائلة من البيانات؛ لاستخلاص الأنماط والعلاقات المكانية والزمانية؛ مما يساعد على التنبؤ بمناطق الخطورة أثناء الحدث، وتقييم الأضرار بعده. كما يمكن أن يستخدم في عمليات التنبؤ والتوقع في السيول، من خلال تحليل العواصف المطرية واستمراريتها وترددتها مع حساب كمية المياه، وفي وادي المصير تم توظيف الذكاء الاصطناعي في حصاد مياه GIS Pro السيول، وبناء منظومة متكاملة لإدارتها بالتكامل مع النظام الهيدروجيومورفولوجي من خلال برامج HyfranPlus و.

- شبكة الإنذار المبكر

شبكة الإنذار المبكر للسيول نظام تقني وبيئي متكامل، يهدف إلى رصد وتتبع المؤشرات الهيدرولوجية والطقسية في الأودية الجافة، خصوصاً الروافد الفرعية، للتنبؤ المبكر بالسيول وإرسال إنذارات فورية لمناطق المهددة. ويهدف هذا النظام إلى خفض مستوى الخسائر البشرية والمادية الناجمة عن السيول المفاجئة، ولا سيما في المناطق التي لا تشهد جرياناً مائياً منتظمًا (أودية جافة)، لكنها معرضة لسيول فجائية عند هطول أمطار غزيرة.

هناك العديد من الدراسات التي تناولت موضوع الإنذار المبكر ولكن دراسة خضر وفؤاد (2023) كانت أقرب إلى الدراسة الحالية؛ ممثلة في المناطق الجافة وشبة الجافة، ولما فيه من تشابه جغرافي بين المنطقتين، حيث تناولاً أحد الأودية على خليج السويس المطل على البحر الأحمر على الحدود المصرية؛ لذلك تم اتباع نفس طريقة نظام الإنذار المبكر.

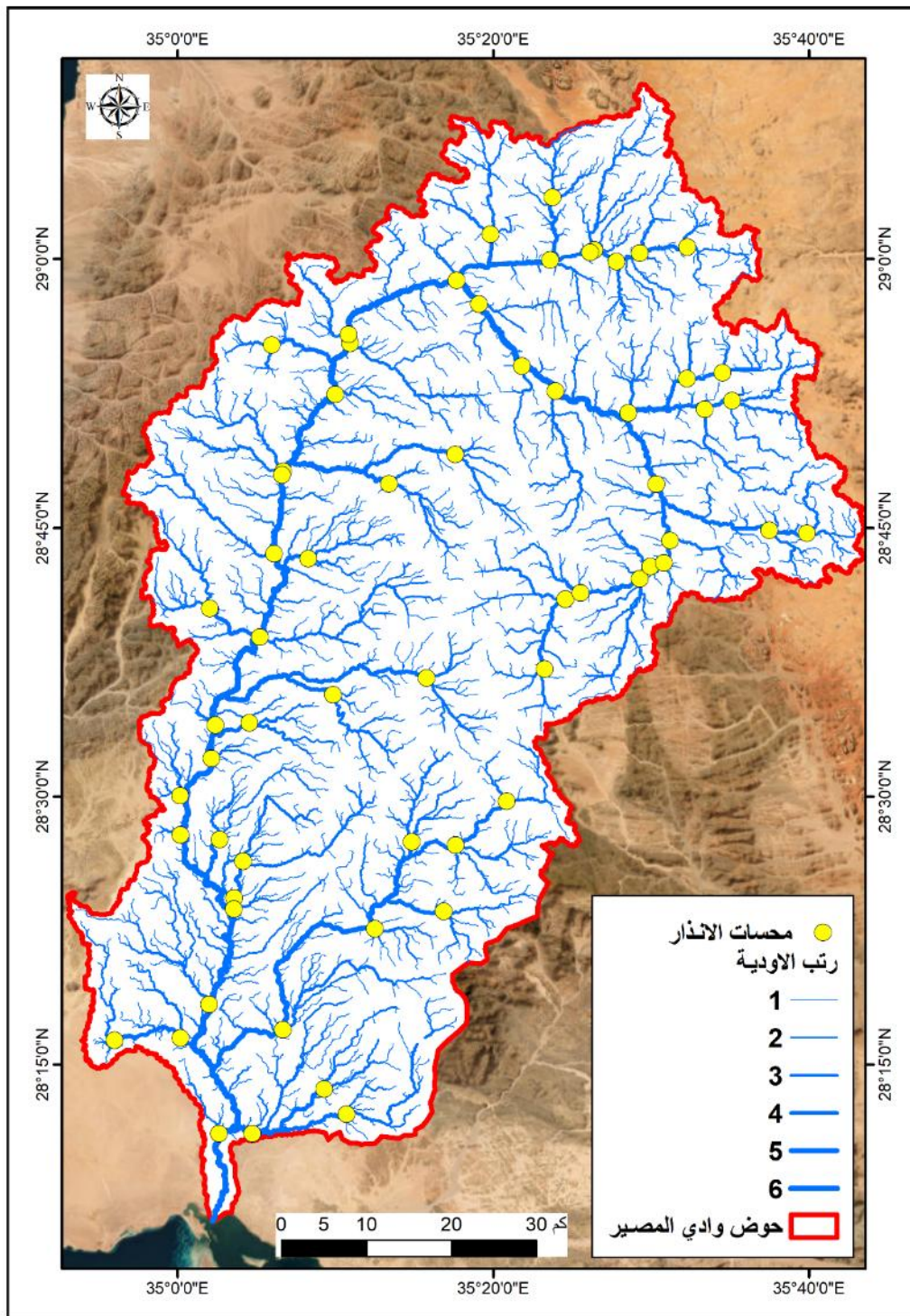
يعتمد نظام الإنذار المبكر المقترن على تكامل البيانات من مراكز الأرصاد الجوية والصور الفضائية مع قواعد بيانات مكانية سابقة، تشمل الخصائص الجيولوجية والجيومورفولوجية والهيدرولوجية للأودية، إضافة إلى بيانات المستشعرات الأرضية التي ترصد ارتفاع المياه وسرعة تدفقها أثناء السيول. تُحلل هذه البيانات في الزمن الحقيقي باستخدام أدوات متقدمة للنموذج الجيوهيدرومorfometric، وتطبق عليها خوارزميات ومعادلات

متخصصة، تُمكّن من التنبؤ بخصائص السيول، من حيث الحجم والسرعة ووقت وصوله إلى المصب، ومدى خطورته على المناطق المأهولة أو النشطة بشريًا.

أظهرت نتائج التحليل أن المواقع المثالية لتركيب مستشعرات الإنذار هي عند التقاء روافد الدرجة الثالثة بالوادي الرئيس، على أن تتم تدريجيًّا لتغطي التقاء الروافد الأعلى وصولًا إلى المصب. تُستخدم أجهزة لقياس ارتفاع المياه وسرعتها ضمن كل جزء من الخوض؛ مما يساعد على حساب كمية المياه المتجمعة عبر مساحة واسعة من الخوض بدقة. ثم تقدير الحجم الكلي للجريان وسرعته من خلال احتساب الوقت بين كل مستشعر آخر، وهو ما يمكّن من تحديد وقت وصول السيول إلى مخارجها، وحجم المياه المحملة، مما يمنح فرق الطوارئ وقتًا كافيًّا للتحرك. ويمكن تلخيص نظام الإنذار المبكر على النحو الآتي:

- توزيع المحسات في نقاط التقاء الروافد (الربة الثالثة وما فوق).
- تثبيت مستشعرات رئيسية مزودة بألواح شمسية وأجهزة إرسال لاسلكية؛ لرصد ارتفاع المياه.
- ربط المحسات بغرفة التحكم المركزية في المدينة أو المحافظة عبر شبكة اتصال لاسلكية.
- إدخال البيانات إلى برامج تحليل وغذجة جيوهيدروموفومترية؛ لتقدير حجم السيول وسرعتها و الزمن وصولها.
- إعداد خرائط تفاعلية لمسارات وحركة السيول وسرعتها.
- تنفيذ إجراءات احترازية كإغلاق الطرق وتحويل الحركة في مخارج الأودية.
- توجيه فرق الإنقاذ إلى المواقع التي يتوقع تأثيرها بالسيول.
- توجيه الأجهزة الأمنية المختصة كجهاز الأمن البيئي لمتابعة هذا النظام وحمايته من محاولات السرقة أو عبث السكان والحيوانات.

تم تحديد موقع المحسات بناءً على تحليل احتمالية تجمع المياه، وينصح بوضعها بعد نقطة التقاء الروافد بمسافة قصيرة لتجنب انجرافها مع السيول. كما يفضل تثبيتها على جانبي مجرى السيول، وليس في قلب المجرى مباشرةً؛ لحمايتها من الضرر الناتج عن قوة التدفق (الشكل 7).



شكل (7): الموقع المقترحة لشبكة الإنذار المبكر في منطقة الدراسة

المصدر: من عمل الباحثة اعتماداً على غووجل الارتفاع الرقمي SRTM 30*30 عام 2014م

النتائج والتوصيات:

يهدف هذا البحث بدراسة الخصائص المورفومترية والميدلوجية لخوض وادي المصير في نيوم لإقامة مشاريع حصاد المياه، في ظل ندرة الموارد المائية وتذبذب الأمطار. وأظهرت التحليلات المورفومترية والميدلوجية أن الخوض يتمتع بخصائص ملائمة لتجمیع المياه رغم تحديات الفوائد المائية، وسرعة الجريان في أثناء الأمطار الغزيرة. وبلغ متوسط المطر السنوي للأيام القصوى (7.34 مم) خلال 1985–2024، مع أقصى قيمة (26.95 مم) في 1986؛ مما يوضح الطبيعة المتذبذبة للأمطار في المنطقة. ويحتوي الخوض على (6) رتب هرية بإجمالي (1436) كم، وبطول إجمالي يبلغ (4938 كم)، وكثافة تصريف (0.78)؛ مما يعكس قدرة متوسطة على تصريف المياه السطحية، وبلغ حجم التصريف ($124.7 \text{ m}^3/\text{s}$)، وصافي الجريان (7954.8 m^3)، مع زمن تركيز (9.37 ساعة) وسرعة جريان (7.1 كم/ساعة)؛ مما يشير إلى استجابة هيدرولوجية متوسطة وسرعة تدفق ملحوظة أثناء الأمطار الغزيرة. وبلغت حملة الفوائد (تبخر وتسرب 386.6 m^3)، وهي نسبة مؤثرة على حجم المياه المتاحة و اختيار الموقع المثلث للحصاد، خصوصاً في البيئات الجافة وشبه الجافة. وأسفر التحليل المكانى عن تحديد موقع مُماثل لإنشاء منشآت حصاد المياه، خصوصاً عند مناطق التقاء الروافد ذات الرتبة الثالثة وما فوق بما يعزز من الأمان المائي المحلي. وصُمم نموذج مقترن يعتمد على توزيع المحسسات في نقاط استراتيجية، وربطها بغرفة تحكم مركبة لتحليل البيانات آلياً؛ مما يتبع التنبؤ بوقت وصول السيول وحجمها وسرعتها. وتوصي الدراسة بضرورة تبني خطط متكاملة لإدارة الموارد المائية، تشمل: إنشاء سدود صغيرة وحواجز ترابية في الموضع المثلث، وتفعيل أنظمة الإنذار المبكر بالتوازي مع برامج التوعية المجتمعية، بما ينسجم مع أهداف رؤية السعودية 2030 في تحقيق الاستدامة المائية وتقليل الأخطار الطبيعية، وتشجيع الدراسات المستقبلية لاختبار فعالية النماذج الميدلوجية والذكاء الاصطناعي في الأحواض المشابهة بالمناطق الجافة وشبه الجافة.

المراجع

أولاً: المراجع العربية

- أبو العلا، محمد محمود. (2002). مدخل إلى الجيومورفولوجيا التطبيقية. مكتبة الأنجلو المصرية.
- أبو العينين، حسن سيد أحمد. (1990). حوض وادي دبا في دولة الإمارات العربية المتحدة (الجغرافية الطبيعية وأثرها في التنمية الزراعية). إدارة الأبحاث بجامعة الكويت.
- البارودي، محمد سعيد. (2012). تقدیر أحجام السيول ومخاطرها عند المجرى الأدنى لحوض وادي عزنة جنوب شرق مدينة مكة المكرمة باستخدام نظم المعلومات الجغرافية. سلسلة بحوث جغرافية، الجمعية الجغرافية المصرية، العدد: (48).
- العوفي، عبد الله أحمد. (2014). الطبيعة في منطقة تبوك: التنوع الأحيائي بالمنطقة الشمالية الغربية بالمملكة العربية السعودية. جامعة تبوك <https://www.slideshare.net/slideshow/ss-57591972/57591972#2>
- بوريه، محمد بن فضيل. (2007). دراسة هييدرومورفومترية لتقدير حجم السيول في حوض عزنة بالمملكة العربية السعودية. مركز دراسات الخليج والجزيرة العربية.
- حميد، دلي خلف. (2016). التحميل المكانى لتقدير حجم الجريان السطحى باستخدام SCS-CN لحوض وادي المريجنوى - شمال العراق. تكريت - العراق: قسم الجغرافيا، كلية التربية للعلوم الإنسانية، جامعة تكريت.
- الخريجى، وفاء صالح علي. (2016). أخطار الجريان السيلى على مدينة الرياض وطرق مواجهتها: دراسة في الجيومورفولوجيا التطبيقية باستخدام نظم المعلومات الجغرافية. رسائل جغرافية، قسم الجغرافيا، جامعة الكويت والجمعية الكويتية، العدد: (434).
- حضر، محمد محمد محمد. (1997). الأخطار الجيومورفولوجية الرئيسة في مصر مع التركيز على السيول في بعض مناطق وادي النيل (رسالة ماجستير غير منشورة). جامعة عين شمس.
- حضر، محمود محمد، ومحمد، مروة فؤاد. (2023). التحليل والنماذج الجيوهيدروكليمومورفومترية للسيول بوادي قصيب (الدوم) العين السخنة – باستخدام الاستشعار عن بعد ونظم

- المعلومات الجغرافية والذكاء الاصطناعي. حولية كلية الآداب، جامعة عين شمس، 51، 353-396.
- محسوب، محمد صبرى. (2001). جيومورفولوجية الأشكال الأرضية. دار الفكر العربي للطباعة والنشر.
- الخفاجي، شذى سالم إبراهيم، والموسوي، حسين عذاب خليف. (2021). دراسة بعض الخصائص الهيدرولوجية لحوض وادي شوشين وتقدير حجم الناتج الرسوبي. مجلة لارك للفلسفة واللسانيات والعلوم الاجتماعية، 41(2)، 1327-1343.
- الدليمي، خلف حسين علي. (2012). علم شكل الأرض التطبيقي: الجيومورفولوجيا التطبيقية. دار صفاء للطباعة والنشر والتوزيع.
- الزرفي، نادية قاسم محمد. (2021). التقييم الهيدرولوجي لإمكانية حصاد مياه الأمطار في بادية المثنى (وادي الغضاري) (رسالة ماجستير، جامعة المثنى).
- سترهلير، آرثر آن. (1964). أشكال سطح الأرض (ترجمة: وفيق الخشاب وعبد الوهاب الدباغ). مطبعة دار الرمان.
- سقا، عبد الحفيظ محمد سعيد. (2011). الخصائص المورفومترية لحوض تصريف وادي لبن، المملكة العربية السعودية. مجلة جامعة الملك عبد العزيز، 19(1)، 31-68.
- شرف، عبد العزيز طريح. (1986). الجغرافيا الطبيعية: أشكال سطح الأرض. مؤسسة الثقافة الجامعية.
- الشرقاوى، محمد محمود. (2018). تطبيق نموذج المنحنى المائي الأحادي في تقدير تدفق النروءة لسيول الأودية الداخلية على مدينة بريدة بمنطقة القصيم، المملكة العربية السعودية. القصيم: الجمعية الجغرافية السعودية.
- صبرى، محمد عبد العزيز. (2006). الجيومورفوجيا العامة. مكتبة الأنجلو المصرية.
- عبد اللطيف، حسام عبد الفتاح. (2015). تحليل جيومورفولوجي لوادي العقيق بالمدينة المنورة باستخدام نظم المعلومات الجغرافية (رسالة ماجستير، جامعة طيبة).

العتابي، نادية حاتم طعمة. (2018). الخصائص المناخية وأثرها في المخاطر الجيومورفولوجية شرقى
محافظة ميسان (أطروحة دكتوراه غير منشورة). جامعة واسط.

الفتلاوى، وفاء حميد حسن، والزاملى، عايد جاسم حسين. (2020). تحليل الخصائص
المهيدرولوجية والعلاقات الارتباطية بين المتغيرات المورفومترية واهيدرولوجية في حوض وادي أبو
خمسة غرب النجف باستخدام طريقة SCS-CN. مجلة آداب الكوفة، 42(1).

الفيتوري، علي محمد. (2014). تطبيقات نظم المعلومات الجغرافية في دراسة مورفومترية
وهييدرولوجية لبعض وديان الهضبة الأولى بالجبل الأخضر – شمال شرق ليبيا. المجلة الدولية
للبيئة والمياه، 3(4)، 70–84.

المشهدانى، إسماعيل جمعة كريم. (2020). التقييم النوعي والكمي للتعرية المائية لحوض وادى زراوة
في السلمانى (رسالة ماجستير غير منشورة). الجامعة العراقية.

مؤسسة رعاية المياه. (2022). استراتيجية المملكة الوطنية للمياه. تم الاسترجاع في 1 أغسطس
2025، من: <https://carewater.solutions/>

الودعاني، إدريس علي سلمان. (2014). مخاطر السيول في منطقة جازان جنوب غربى المملكة
العربية السعودية: منظور جيومورفولوجي. مجلة جامعة جازان للعلوم الإنسانية، 3(1)، 1–76.
وزارة البيئة والمياه والزراعة. (2030). الكتاب الإحصائى. المملكة العربية السعودية.

Abd al-Laṭīf, Ḥusām ‘Abd al-Fattāḥ. (2015). *tahlīl jywmwrfwlwjy li-Wādī al-‘aqīq bi-al-Madīnah al-Munawwarah bi-istikhdām naẓm al-ma’lūmāt al-jughrāfiyah* (Risālat mājistīr, Jāmi‘at Taybah).

Abū al-‘Aynayn, Ḥasan Sayyid Aḥmad. (1990). Ḥawḍ Wādī Dabā fī Dawlat al-Imārāt al-‘Arabīyah al-Muttaḥidah (al-jughrāfiyah al-tabī‘iyah wa-atharuhā fī al-tanmiyah al-zirā‘iyah). Idārat al-Abḥāth bi-Jāmi‘at al-Kuwayt.

Abū al-‘Ulā, Muḥammad Maḥmūd. (2002). *madkhal ilá al-jiyūmūrfūlūjiyā al-taṭbīqiyah*. Maktabat al-Anjlū al-Miṣrīyah.

al-‘Awfī, Allāh Aḥmad. (2014). *al-ṭabī‘ah fī minṭaqat Tabūk al-Tanawwu‘ al-ḥyā’y bi-al-minṭaqah al-Shamālīyah al-Gharbīyah bi-al-Mamlakah al-‘Arabīyah al-Sa‘ūdīyah*. Jāmi‘at Tabūk <https://www.slideshare.net/ss-57591972/57591972#2>

al-Bārūdī, Muḥammad Sa‘īd. (2012). *taqdīr Ahjām al-suyūl wa-makhāṭiruhā ‘inda almjrā al-Adnā li-Ḥawḍ Wādī ‘rn̄h Janūb Sharq Madīnat Makkah al-Mukarramah bi-*

- istikhdām naẓm al-ma‘lūmāt al-jughrāfiyah. Silsilat Buḥūth jughrāfiyah, al-Jam‘īyah al-jughrāfiyah al-Miṣrīyah, al-‘adad : (48.).
- al-Dulaymī, Khalaf Husayn ‘Alī. (2012). ‘ilm shakl al-ard al-taṭbīqī : al-jiyūmūrfūlūjīyā al-taṭbīqīyah. Dār Ṣafā’ lil-Ṭibā’ah wa-al-Nashr wa-al-Tawzī’.
- al-Fatlāwī, Wafā’ Ḥamīd Ḥasan Wālzāmly, ‘Āyid Jāsim Husayn. (2020). taḥlīl al-Khaṣā’iṣ alhydrwlwjyh wa-al-‘alāqāt al-ārtbātyh bayna al-mutaghayyirāt almwrfwmtryh wālhydrwlwjyh fī ḥawd Wādī Abū khamsat Gharb al-Najaf bi-istikhdām ṭarīqat SCS-CN. *Majallat ādāb al-Kūfah*, 42 (1).
- al-Fītūrī, ‘Alī Muḥammad. (2014). taṭbīqāt naẓm al-ma‘lūmāt al-jughrāfiyah fī dirāsa mwrfwmtryh whydrwlwjyh li-ba‘d Widyān al-haḍabah al-ūlā bāljabl al-Akhḍar – Shamāl Sharq Lībiyā. *al-Majallah al-Dawlīyah lil-Bī’ah wa-al-miyāh*, 3 (4), 70-84.
- al-‘Itābī, Nādiyah Ḥātim Tu‘mah. (2018). *al-Khaṣā’iṣ al-muanākhīyah wa-atharuhā fī al-makhāṭir al-jiyūmūrfūlūjīyā Sharqī Muḥāfaẓat mysān* (utrūhat duktūrāh ghayr manshūrah). Jāmi‘at Wāsiṭ.
- al-Khafājī, Shadhá Sālim Ibrāhīm, wālmwsyw, Husayn ‘Adhāb Khulayyif. (2021). dirāsa ba‘d al-Khaṣā’iṣ alhydrwlwjyh li-Ḥawd Wādī shwshyn wa-taqdīr hajm al-nātij alrswy. *Majallat lārk lil-falsafah wa-al-lisāniyat wa-al-‘Ulūm al-ijtīmā’īyah*, 2 (41), 1327-1343.
- al-Khurayjī, Wafā’ Ṣāliḥ ‘Alī. (2016). akhṭār al-Jaryān al-Sīlī ‘alā Madīnat al-Riyād wa-ṭuruq muwājahatiḥā : dirāsa fī al-jiyūmūrfūlūjīyā al-taṭbīqīyah bi-istikhdām naẓm al-ma‘lūmāt al-jughrāfiyah. Rasā’il jughrāfiyah, Qism al-jughrāfiyā, Jāmi‘at al-Kuwayt wa-al-Jam‘īyah al-jughrāfiyah al-Kuwaytīyah, al-‘adad : (434.).
- al-Mashhadānī, Ismā‘īl Jum‘ah Karīm. (2020). *al-Taqyīm al-nawīt wālkmy llt’ryh al-mā’īyah li-Ḥawd Wādī zrāwh fī al-Salmānī* (Risālat mājistīr ghayr manshūrah). al-Jāmi‘ah al-‘Irāqīyah.
- al-Sharqāwī, Muḥammad Maḥmūd. (2018). taṭbīq namūdhaj al-munḥanā al-mā’ī al-ḥādy fī taqdīr tdfq al-dhrwh lswl al-wdyh al-Dākhlah ‘alā Madīnat Buraydah bi-Mintaqat al-Qaṣīm, al-Mamlakah al-‘Arabīyah al-Sa‘ūdīyah. al-Qaṣīm : al-Jam‘īyah al-jughrāfiyah al-Sa‘ūdīyah.
- al-Wad‘ānī, Idrīs ‘Alī Salmān. (2014). Makhāṭir al-suyūl fī mintaqat Jāzān Janūb Gharbī al-Mamlakah al-‘Arabīyah al-Sa‘ūdīyah : manzūr jywmrwfwljy. *Majallat Jāmi‘at Jāzān lil-‘Ulūm al-Insāniyah*, 3 (1), 1 – 76.
- Alzrfy, Nādiyah Qāsim Muḥammad. (2021). *al-Taqyīm al-haydrūlūjī l’mkānyh Haṣād Miyāh al-Amṭār fī bādiyat al-Muthannā (Wādī alghdāry)* (Risālat mājistīr, Jāmi‘at al-Muthannā).
- ‘Āshūr, Maḥmūd Muḥammad. (1986). Ṭuruq al-Taḥlīl almwrfwmtryh li-shabakāt al-taṣrīf al-mā’ī. *Majallat Kulliyat al-‘Ulūm al-Insāniyah wa-al-Ijtīmā’īyah*, Jāmi‘at Qaṭar, 9, 459-488.
- Bwryh, Muḥammad ibn Faḍīl. (2007). dirāsa haydrūmūrfūmitrīyah li-taqdīr hajm al-suyūl fī ḥawd ‘Itwad bi-al-Mamlakah al-‘Arabīyah al-Sa‘ūdīyah. Markaz Dirāsat al-Khalīj wa-al-Jazīrah al-‘Arabīyah.

- Hamīd, Dillī Khalaf. (2016). al-th̄myl al-makānī li-taqdīr ḥajm al-Jaryān als̄hy bi-istikhdām SCS-CN li-Ḥawd Wādī al-murr al-Janūbī – Shamāl al-‘Irāq. Tikrīt – al-‘Irāq : Qism al-jughrāfiyā, Kullīyat al-Tarbiyah lil-‘Ulūm al-Insāniyah, Jāmi‘at Tikrīt.
- Khiḍr, Maḥmūd Muḥammad Muḥammad. (1997). al-khṭār al-jiyūmūrfūlūjīyah al-ra’īsah fī Miṣr ma‘a al-tarkīz ‘alā al-suyūl fī ba‘d manāṭiq Wādī al-Nīl (Risālat mājistīr ghayr manshūrah). Jāmi‘at ‘Ayn Shams.
- Khiḍr, Maḥmūd Muḥammad, wa-Muhammad Marwah Fu’ād. (2023). al-Taḥlīl wālnmdjhj al-jyw̄hydrwklymwmwrfwmtryh llisywl bi-Wādī qṣyb (aldwm) al-‘Ayn al-Sukhnah – bi-istikhdām al-Istish‘ār ‘an bu‘d wa-nuzum al-ma‘lūmāt al-jughrāfiyah wa-al-dhakā’ al-āṣṭnā‘y. Hawlīyat Kullīyat al-Ādāb, Jāmi‘at ‘Ayn Shams, 51, 353-396.
- Maḥsūb, Muḥammad Ṣabrī. (2001). *jiyūmūrfūlūjīyah al-ashkāl al-ardīyah*. Dār al-Fikr al-‘Arabī lil-Ṭibā‘ah wa-al-Nashr.
- Maḥsūb, Muḥammad Ṣabrī. (2001). *jiyūmūrfūlūjīyah al-ashkāl al-ardīyah*. Dār al-Fikr al-‘Arabī lil-Ṭibā‘ah wa-al-Nashr.
- Mu’assasat Ri‘āyat al-miyāh. (2022). *istirātīyah al-Mamlakah al-Waṭanīyah lil-Miyāh*. tamma al-āstrjā‘ fī 1 Aghusṭus 2025, min : <https://carewater.solutions/>
- Ṣabrī, Muḥammad ‘Abd al-‘Azīz. (2006). *al-Jīyūlūjīyah al-‘Āmmah*. Maktabat al-Anjlū al-Miṣrīyah.
- Saqqā, ‘Abd al-Hafīẓ Muḥammad Sa‘īd. (2011). al-Khaṣā’is almwfwmtryh li-Ḥawd taṣrīf Wādī Laban, al-Mamlakah al-‘Arabīyah al-Sa‘ūdīyah. *Majallat Jāmi‘at al-Malik ‘Abd al-‘Azīz*, 19(1), 31-68.
- Sharaf, ‘Abd al-‘Azīz ṭryh. (1986). *al-jughrāfiyā al-ṭabī‘īyah : Ashkāl saṭh al-ard*. Mu’assasat al-Thaqāfah al-Jāmi‘īyah.
- Sharīf, Āzād Jalāl. (2000). haydrūmūrfūmitrīyah Ḥawd Nahr al-Khābūr. *Majallat al-Jam‘īyah al-jughrāfiyah al-‘Irāqīyah*, 34.
- Strhlyr, Arthur Ān. (1964). *Ashkāl saṭh al-ard (tarjamat : Waftq al-Khashshāb wa-‘Abd al-Wahhāb al-Dabbāgh)*. Matba‘at Dār al-Zamān.
- Wizārat al-bī‘ah wa-al-miyāh wa-al-zirā‘ah. (2030). *al-Kitāb al-iḥsā‘ī*. al-Mamlakah al-‘Arabīyah al-Sa‘ūdīyah.

ثانياً: المراجع الأجنبية

- Abd-Elaty, I., Kuriqi, A., Ahmed, A., & Ramadan, E. M. (2024). Enhanced groundwater availability through rainwater harvesting and managed aquifer recharge in arid regions. *Applied Water Science*, 14, 121. <https://doi.org/10.1007/s13201-024-02166-7>
- Alataway, A., & El Alfy, M. (2018). Rainwater harvesting and artificial groundwater recharge in arid areas: Case study in Wadi Al-Alb, Saudi Arabia. *Journal of Water Resources Planning and Management*, 145(1), 04018084. [https://doi.org/10.1061/\(ASCE\)WR.1943-5452.0001009](https://doi.org/10.1061/(ASCE)WR.1943-5452.0001009)



- Alsubeai, A., & Burckhard, S. R. (2021). Interannual climate variability in Tabuk, Saudi Arabia: Impacts on annual and seasonal precipitation. *Atmospheric and Climate Sciences*, 11(4), 645–657. <https://doi.org/10.4236/acs.2021.114038>
- Alzghoul, M., & Al-Husban, Y. (2021). Rainwater harvesting and storage in Asir, Kingdom of Saudi Arabia, using spatial modeling and geographic information systems. *Desalination and Water Treatment*, 233, 19–29. <https://doi.org/10.5004/dwt.2021.27531>
- Amin, M. T., Alazba, A. A., & Manzoor, M. (2013). Soft path water management in dry and arid regions of the Arabian Peninsula by rainwater harvesting. *American Journal of Environmental Sciences*, 9(2), 156–163. <https://thescipub.com/pdf/ajessp.2013.156.163.pdf>
- Bhuiyan, M. A. H., et al. (2022). Machine learning and remote sensing for disaster risk reduction. *International Journal of Disaster Risk Science*, 13(1), 1–15. <https://doi.org/10.1007/s13753-022-00406-7>
- Chow, V. T. (1964). *Handbook of applied hydrology*. McGraw-Hill.
- Cools, J., Vanderkimpfen, P., El Afandi, G., Abdelkhalek, A., Fockedey, S., El Sammy, M., Abdallah, G., El Bihery, M., Bauwens, W., & Huygens, M. (2012). An early warning system for flash floods in hyper-arid Egypt. *Natural Hazards and Earth System Sciences*, 12(2), 443–457. <https://doi.org/10.5194/nhess-12-443-2012>
- Food and Agriculture Organization of the United Nations. (2022). *Saudi Arabia: AQUASTAT country fact sheet*. FAO – AQUASTAT. https://storage.googleapis.com/fao-aquastat.appspot.com/countries_regions/factsheets/summary_statistics/en/SAU-CF.pdf
- Garba, H., & Abubakar, Z. (2023). Effect of slope and runoff trends on the hydrological response of River Kaduna. *ABUAD Journal of Engineering Research and Development*, 6(2), 183–191. <https://doi.org/10.53982/ajerd.2023.0602.18-i>
- Govardhan, D., Pathak, R., Ashok, K., Asiri, M. I., Zamreeq, A., & Hoteit, I. (2025). Midlatitude circulations linked to seasonal extreme precipitation and extreme temperature events in the Arabian Peninsula. *Climate Dynamics*, 63, 117–140. <https://doi.org/10.1007/s00382-025-07592-0>
- Gregory, K. J., & Walling, D. E. (1973). *Drainage basin: Form and process – A geomorphological approach*. Edward Arnold.
- Horton, R. E. (1932). Drainage basin characteristics. *Transactions of the American Geophysical Union*, 13(1), 350–361. <https://doi.org/10.1029/TR013i001p00350>
- Horton, R. E. (1945). Erosional development of streams and their drainage basins: Hydrophysical approach to quantitative morphology. *Geological Society of America Bulletin*, 56(3), 275–370. <https://doi.org/10.1130/GSAB-56-275>
- Jones, A., et al. (2023). AI for climate impacts: Applications in flood risk. *npj Climate and Atmospheric Science*, 6, 63. <https://doi.org/10.1038/s41612-023-00388-1>



- Mahmoud, S. H. (2015). Monitoring prospective sites for rainwater harvesting and stormwater management in the United Kingdom using a GIS-based decision support system. *Verlag Berlin Heidelberg.*
- Mahmoud, S. H., & Alazba, A. A. (2014). The potential of in situ rainwater harvesting in arid regions: Developing a methodology to identify suitable areas using GIS-based decision support system. *Arabian Journal of Geosciences*, 7, 567–580. <https://doi.org/10.1007/s12517-013-0895-5>
- Manning, C. (2020, September). Artificial intelligence definitions. *Stanford University Human-Centered Artificial Intelligence*. <https://hai.stanford.edu/sites/default/files/2020-09/AI-Definitions-HAI.pdf>
- Rao, N., Latha, S., Kumar, A., & Krishna, H. (2010). Morphometric analysis of Gostani River Basin in Andhra Pradesh State, India using spatial information technology. *International Journal of Geomatics and Geosciences*, 1(2), 147–159.
- Revuelta-Acosta, J. D., Garrido-Meléndez, J., Conde-Gutiérrez, R. A., & Alcalá-Perea, G. (2025). Comprehensive geospatial assessment: Morphometric parameters and hydrological implications in five Mexican basins. *Scientific Reports*, 15, 21698. <https://doi.org/10.1038/s41598-025-05194-8>
- Saboory, M. (2014). Application of GIS for selection of suitable water harvesting project sites - A case study on Khulm watershed of Afghanistan. In *Annual Congress of JRCSA*, Fukui, Japan.
- Saudi Water Partnership Company. (2024). *7-year statement 2024–2030*. SWPC. https://www.swpc.sa/wp-content/uploads/2024/09/SWPC_7-Years-Statement-2024_2030.pdf
- Schumm, S. A. (1956). The evaluation of drainage systems and slopes in Badlands at Perth Amboy, New Jersey. *Geological Society of America Bulletin*, 67(5), 597–646. [https://doi.org/10.1130/0016-7606\(1956\)67\[597:TEODSA\]2.0.CO;2](https://doi.org/10.1130/0016-7606(1956)67[597:TEODSA]2.0.CO;2)
- Smith, K. G. (1950). Standards for grading texture of erosional topography. *American Journal of Science*, 248(9), 655–668. <https://doi.org/10.2475/ajs.248.9.655>
- Strahler, A. N. (1952). Hypsometric (area-altitude) analysis of erosional topography. *Geological Society of America Bulletin*, 63(11), 1117–1142. [https://doi.org/10.1130/0016-7606\(1952\)63\[1117:HAAOET\]2.0.CO;2](https://doi.org/10.1130/0016-7606(1952)63[1117:HAAOET]2.0.CO;2)
- Strahler, A. N. (1954). Quantitative geomorphology of erosional landscapes. In *Proceedings of the 19th International Geological Congress* (Vol. 15, pp. 69–76). Algiers.
- Strahler, A. N. (1957). Quantitative analysis of watershed geomorphology. *Transactions of the American Geophysical Union*, 38(6), 913–920. <https://doi.org/10.1029/TR038i006p00913>
- Strahler, A. N. (1958). Dimensional analysis applied to fluvially eroded landforms. *Bulletin of the Geological Society of America*, 69(3), 279–300. [https://doi.org/10.1130/0016-7606\(1958\)69\[279:DAATFE\]2.0.CO;2](https://doi.org/10.1130/0016-7606(1958)69[279:DAATFE]2.0.CO;2)



- Strahler, A. N. (1964). Quantitative geomorphology of drainage basins and channel networks. In V. T. Chow (Ed.), *Handbook of applied hydrology* (pp. 4-II-39 to 4-II-76). McGraw-Hill.
- U.S. Department of Agriculture. (1997). *Soil Conservation Service (USDA SCS), National Engineering Handbook, Section 4*. Washington, DC: USDA.
- Waikar, M. L., & Nilawar, A. P. (2014). Morphometric analysis of a drainage basin using geographical information system: Case study. *International Journal of Multidisciplinary and Current Research*, 2, 179–184. ISSN: 2321-3124.
- Waltz, J. P. (1973). *Ground water*. In Introduction to physical hydrology (pp. 50–80). Methuen.
- Willson, E. M. (1980). *Engineering hydrology*. ELBS and Macmillan.
- World Bank. (2025, September 14). *Renewable internal freshwater resources per capita (ER.H2O.INTR.PC)* [Data set]. World Development Indicators (WDI).
<https://databank.worldbank.org/reports.aspx?country=WLD&series=ER.H2O.INTR.PC&source=2>
- Yang, J., El-Kassaby, Y. A., & Guan, W. (2020). The effect of slope aspect on vegetation attributes in a mountainous dry valley, Southwest China. *Scientific Reports*, 10, 16465. <https://doi.org/10.1038/s41598-020-73496-0>
- Pareta, K., & Pareta, U. (2012). Quantitative geomorphological analysis of a watershed of Ravi River Basin, H.P. India. *International Journal of Remote Sensing and GIS*, 1(1), 41–56. https://prod-qt-ges.s3.amazonaws.com/indiawaterportal/import/sites/default/files/iwp2/quantitative_geomorphological_analysis_of_a_watershed_of_ravi_river_basin_himachal_pradesh_india_international_journal_of_remote_sensing_and_gis_2012.pdf